МИНИСТЕРСТВО СЕЛЬСКОГО ХОЗЯЙСТВА РОССИЙСКОЙ ФЕДЕРАЦИИ

ФГБОУ ВО «КУБАНСКИЙ ГОСУДАРСТВЕННЫЙ АГРАРНЫЙ УНИВЕРСИТЕТ ИМЕНИ И.Т. ТРУБИЛИНА»

Факультет прикладной информатики Кафедра компьютерных технологий и систем

ПОЯСНИТЕЛЬНАЯ ЗАПИСКА

к курсовой работе

по дисциплине: <u>ИНТЕЛЛЕКТУАЛЬНЫЕ ИНФОРМАЦИОННЫЕ</u>
<u>СИСТЕМЫ</u>
на тему:

<u>АСК-анализ данных опроса учеников разных школ на основе данных репозитория UCI</u>

выполнил студент группы ИТ1401 Толстов Андрей Романович

Краснодар

2017 г.

МИНИСТЕРСТВО СЕЛЬСКОГО ХОЗЯЙСТВА РОССИЙСКОЙ ФЕДЕРАЦИИ

ФГБОУ ВО «КУБАНСКИЙ ГОСУДАРСТВЕННЫЙ АГРАРНЫЙ УНИВЕРСИТЕТ ИМЕНИ И.Т. ТРУБИЛИНА»

Факультет прикладной информатики Кафедра компьютерных технологий и систем

УТВЕРЖДАЮ: Зав. кафедрой КТС В. И. Лойн	ĸc
ЗАДАНИЕ на курсовую работу	
Студентке: <u>ИТ1401</u> группы <u>3</u> курса Ракультета прикладной информатики Специальности: <u>09.03.02 Информационные системы и технологии</u>	
Толстов Андрей Романович (Ф.И.О.)	
Тема проекта: <u>АСК-анализ данных опроса учеников разных школ на основе данных </u>	X
репозитория UCI Содержание задания: <u>Провести исследование и разработать системно-когнитивну</u> подель «АСК-анализ данных опроса учеников разных школ на основе данны репозитория UCI»	
Объем работы:	
) пояснительная записка к работе листа формата A4 б) графическая часть лист формата A4 Рекомендуемая литература: Луценко Е.В. Лабораторный практикум г интеллектуальным информационным системам: Учебное пособие для бакалавриата. 7 взд., перераб. и доп Краснодар: КубГАУ — 2016, — 615 с., в электронном виде на сай-	7-е
Срок выполнения проекта: с "" по ""2017 г.	
втора: http://lc.kubagro.ru/aidos/p14.htm Срок выполнения проекта: с " по " 2017 г. Срок защиты:	
уководитель проскта	
(подпись, Ф.И.О., звание, степень) вадание принял студент	
(подпись, дата)	
Краснолар	

2017 г.

РЕФЕРАТ

Курсовая работа содержит 33 страницы, 25 рисунков, 3 таблицы, 4 используемых источника.

Ключевые слова: оценка успеваемости, интеллектуальные системы, системно-когнитивная модель, АСК-анализ.

Цель работы – Провести исследование и разработать системнокогнитивную модель «АСК-анализ данных опроса учеников разных школ на основе данных репозитория UCI»

Результаты работы: На основе базы данных UCI построены модели прогнозирования с помощью АСК-анализа и реализующей его системы «Эйдос».

СОДЕРЖАНИЕ

ВВЕДЕНИЕ	5
1. СИНТЕЗ И ВЕРИФИКАЦИЯ МОДЕЛЕЙ	6
1.1 Исследование предметной области	6
1.2 Описание решения	6
1.3. Преобразование исходных данных из HTML-формата в файл	1 7
исходных данных MS Excel	7
1.3. Синтез и верификация статистических и интеллектумоделей	
1.4. Виды моделей системы «Эйдос»	16
1.5. Результаты верификации моделей	18
2 РЕШЕНИЕ ЗАДАЧ ИДЕНТИФИКАЦИИ В НАИБОЛЕЕ	20
ДОСТОВЕРНОЙ МОДЕЛИ	20
2.1. Решение задачи	20
2.2. Когнитивные функции	23
2.3. SWOT и PEST матрицы и диаграммы Error! Bookmark defined. 25	not
2.3. SWOT и PEST матрицы и диаграммы	26
2.4. Нелокальные нейроны и нейронная сеть	28
2.5. Кластерный и конструктивный анализ классов	30
Заключение	32
Список использованных источников	33

ВВЕДЕНИЕ

Интеллектуальные информационные системы – естественный результат развития обычных информационных систем, сосредоточили в себе наиболее наукоемкие технологии с высоким уровнем автоматизации не только процессов подготовки информации для принятия решений, но и самих процессов выработки вариантов решений, опирающихся на полученные информационной системой данные. Так как существует множество альтернатив систем искусственного интеллекта, то возникает необходимость оценки качества математических моделей этих систем. В данной работе рассмотрено решение задачи идентификации городов по рейтингу качества жизни.

Для достижения поставленной цели необходимы свободный доступ к тестовым исходным данным и методика, которая поможет преобразовать эти данные в форму, которая необходима для работы в системе искусственного интеллекта.

Данные были взяты из портала UCI. Он является совместной онлайновой базой данных, которая позволяет пользователям обмениваться и сравнивать различную аналитическую информацию.

Для решения задачи используем стандартные возможности Microsoft Office Word и Excel, блокнот, а также систему искусственного интеллекта "Эйдос-X++".

1. СИНТЕЗ И ВЕРИФИКАЦИЯ МОДЕЛЕЙ

1.1 Исследование предметной области

Данные для разработки системно-когнитивной модели были взяты из открытого ресурса UCI. База данных была получена по результатам опроса учеников. Она содержит много интересной социальной, гендерной и учебной информации об учениках.

В соответствии с темой, была выбрана таблица, которая содержит 395 записей в виде рейтингового списка успеваемости учеников с параметрами, влияющими на данный рейтинг, такими как:

- Пол (м/ж);
- Возраст (от 15 до 22);
- Размер семьи («до 3-х»/«более 3-х»);
- Работа матери;
- Работа отца;
- Увлечения вне школы (да/нет);
- Имеет доступ в интернет дома (да/нет);
- В романтических отношениях (да/нет);
- Свободное время после школы (от 1 «очень мало» до 5 «очень много»);
 - Пропуски занятий (количество).

1.2 Описание решения

В соответствии с методологией АСК-анализа решение поставленной задачи проводится в четыре этапа:

- Преобразование исходных данных из HTML-формата в промежуточные файлы MS Excel.
 - Преобразование исходных данных из промежуточных файлов

- MS Excel в базы данных системы "Эйдос".
- Синтез и верификация моделей предметной области.
- Применение моделей для решения задач идентификации,
 прогнозирования и исследования предметной области.

1.3. Преобразование исходных данных из HTML-формата в файл исходных данных MS Excel

Поскольку ввод исходных данных в систему «Эйдос» планируется осуществить с помощью ее универсального программного интерфейса импорта данных из внешних баз данных, который работает с файлами MS Excel, то данные из html-файла были преобразованы в xls-файл. Данные, представленные на интернет-ресурсе UCI, показаны на рисунке 1.

school 🥖	sex 🥜	age 🥒	address 🥜	famsize 🥖	Pstatus 🥜	Medu 🥖	Fedu 🥒	Mjob 🥒 📗
GP	F	18	U	GT3	Α	4	4	at_home
GP	F	17	U	GT3	Т	1	1	at_home
GP	F	15	U	LE3	Т	1	1	at_home
GP	F	15	U	GT3	Т	4	2	health
GP	F	16	U	GT3	Т	3	3	other
GP	М	16	U	LE3	Т	4	3	services
GP	М	16	U	LE3	Т	2	2	other
GP	F	17	U	GT3	Α	4	4	other
GP	М	15	U	LE3	Α	3	2	services
GP	М	15	U	GT3	Т	3	4	other
GP	F	15	U	GT3	Т	4	4	teacher
GP	F	15	U	GT3	Т	2	1	services
GP	M	15	U	LE3	Т	4	4	health
GP	M	15	U	GT3	Т	4	3	teacher
GP	M	15	U	GT3	А	2	2	other

Рисунок 1 – Успеваемость учеников UCI

Данные, полученные после преобразования в файл MS Excel и изменены сокращения на более полные наименования на русском языке, представлены на таблице 1.

Затем данный файл был назван «Inp_data» и помещен в папку: c:\Aidos-X\AID_DATA\Inp_data\ для дальнейшего анализа в системе.

Следующим шагом необходимо выполнить автоматизированную формализацию предметной области путем импорта исходных данных из внешних баз данных в систему "Эйдос".

Таблица 1 – Исходные данные в MS Excel

Номер п/п	Успевае- мость	Пол	Воз-	Размер семьи	Работа матери	Работа отца	Увле- чения	Имеет доступ в интернет дома	В роман- тических отноше- ниях	Свобод- ное время	Пропуски занятий
1	6	ж	18	более 3-х	на дому	учитель	нет	нет	нет	3	6
2	6	ж	17	более 3-х	на дому	другое	нет	да	нет	3	4
3	10	ж	15	до 3-х	на дому	другое	нет	да	нет	3	10
4	15	ж	15	более 3-х	врач	сервис	да	да	да	2	2
5	10	ж	16	более 3-х	другое	другое	нет	нет	нет	3	4
6	15	М	16	до 3-х	сервис	другое	да	да	нет	4	10
7	11	М	16	до 3-х	другое	другое	нет	да	нет	4	0
8	6	ж	17	более 3-х	другое	учитель	нет	нет	нет	1	6
9	19	М	15	до 3-х	сервис	другое	нет	да	нет	2	0
10	15	М	15	более 3-х	другое	другое	да	да	нет	5	0
11	9	ж	15	более 3-х	учитель	врач	нет	да	нет	3	0
12	12	ж	15	более 3-х	сервис	другое	да	да	нет	2	4
13	14	Μ	15	до 3-х	врач	сервис	да	да	нет	3	2
14	11	М	15	более 3-х	учитель	другое	нет	да	нет	4	2
15	16	М	15	более 3-х	другое	другое	нет	да	да	5	0
16	14	ж	16	более 3-х	врач	другое	нет	да	нет	4	4
17	14	ж	16	более 3-х	сервис	сервис	да	да	нет	2	6
18	10	ж	16	более 3-х	другое	другое	да	нет	нет	3	4
19	5	М	17	более 3-х	сервис	сервис	да	да	нет	5	16
20	10	М	16	до 3-х	врач	другое	да	да	нет	1	4
21	15	М	15	более 3-х	учитель	другое	нет	да	нет	4	0
22	15	М	15	более 3-х	врач	врач	нет	да	нет	4	0
23	16	М	16	до 3-х	учитель	другое	да	да	нет	5	2
24	12	М	16	до 3-х	другое	другое	да	да	нет	4	0
25	8	ж	15	более 3-х	сервис	врач	да	да	нет	3	2
26	8	ж	16	более 3-х	сервис	сервис	нет	да	нет	2	14
27	11	М	15	более 3-х	другое	другое	нет	да	нет	2	2
28	15	М	15	более 3-х	врач	сервис	нет	да	нет	2	4
29	11	М	16	до 3-х	сервис	другое	да	да	нет	3	4
30	11	М	16	более 3-х	учитель	учитель	да	да	да	4	16

Для входа в систему «Эйдос» задаем имя:1 пароль:1 на рисунке 2.

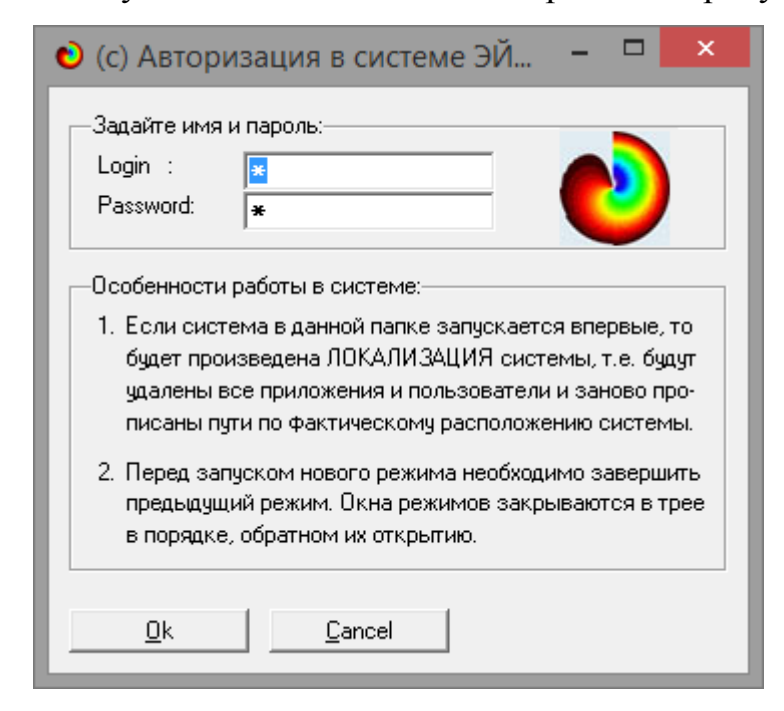


Рисунок 2 – Авторизация в «Эйдос»

Для загрузки базы исходных данных в систему «Эйдос» необходимо воспользоваться универсальным программным интерфейсом для ввода данных из внешних баз данных табличного вида, т.е. режимом 2.3.2.2 (Рисунок 3).

🕑 2.3.2.2. Универсальный программный интерфейс и	импорта данных в систему "ЭЙДОС-Х+ 💻 🗀 🔻
Автоматическая формализация предметной области: г и градаций, а также обучающей и распознаваемой вы	· · ·
—Задайте тип файла исходных данных: "Inp_data":	Задайте параметры:—
С XLS - MS Excel-2003 Стандарт XLS-файла	 Нули и пробелы считать ОТСУТСТВИЕМ данных
	 Нули и пробелы считать ЗНАЧЕНИЯМИ данных
© DBF - DBASE IV (DBF/NTX) Стандарт DBF-файла	▼ Создавать БД средних по классам "Inp_davr.dbf"?
С CSV - Comma-Separated Values Стандарт CSV-файла	Требования к файлу исходных данных
Задайте диапазон столбцов классификационных шкал:	Задайте диапазон столбцов описательных шкал:
Начальный столбец классификационных шкал: 2	Начальный столбец описательных шкал: 3
Конечный столбец классификационных шкал:	Конечный столбец описательных шкал:
Задайте режим:	Задайте способ выбора размера интервалов:
 Формализации предметной области (на основе "Inp_data") 	 Равные интервалы с разным числом наблюдений
○ Генерации распознаваемой выборки (на основе "Inp_rasp")	 Разные интервалы с равным числом наблюдений
Применить спец.интерпретацию текстовых полей классов Параметры интерпретации знач	Применить спец.интерпретацию текстовых полей признаков нений текстовых полей "Inp_data":
—Интерпретация ТХТ-полей классов:	Интерпретация ТХТ-полей признаков:
Значения полей текстовых классификационных шкал файла	Значения полей текстовых описательных шкал файла
исходных данных "Inp_data" рассматриваются как целое	исходных данных "Inp_data" рассматриваются как целое
С Только наименования интервальных числовых значений (на	пример: "1/3-{59873.0000000, 178545.6666667}") пример: "Минимальное")
 И интервальные числовые значения, и их наименования (на 	пример: "Минимальное: 1/3-{59873.0000000, 178545.6666667}")
<u>O</u> k <u>C</u> ancel	

Рисунок 3 — Экранная форма Универсального программного интерфейса импорта данных в систему "Эйдос" (режим 2.3.2.2.)

В экранной форме, приведенной на рисунке 3, задать настройки, показанные на рисунке:

- «Задайте тип файла исходных данных Inp_data»: «XLS – MS Excel-2007(2010)»;

- «Задайте диапазон столбцов классификационных шкал»: «Начальный столбец классификационных шкал» 2, «Конечный столбец классификационных шкал» 2;
- «Задайте диапазон столбцов описательных шкал»: «Начальный столбец классификационных шкал» 3, «Конечный столбец классификационных шкал» 12 (последний столбец в таблице);

Далее было задано число интервалов в шкале, а именно в классификационных шкалах и в остальных шкалах, равное 5 (Рисунок 4)

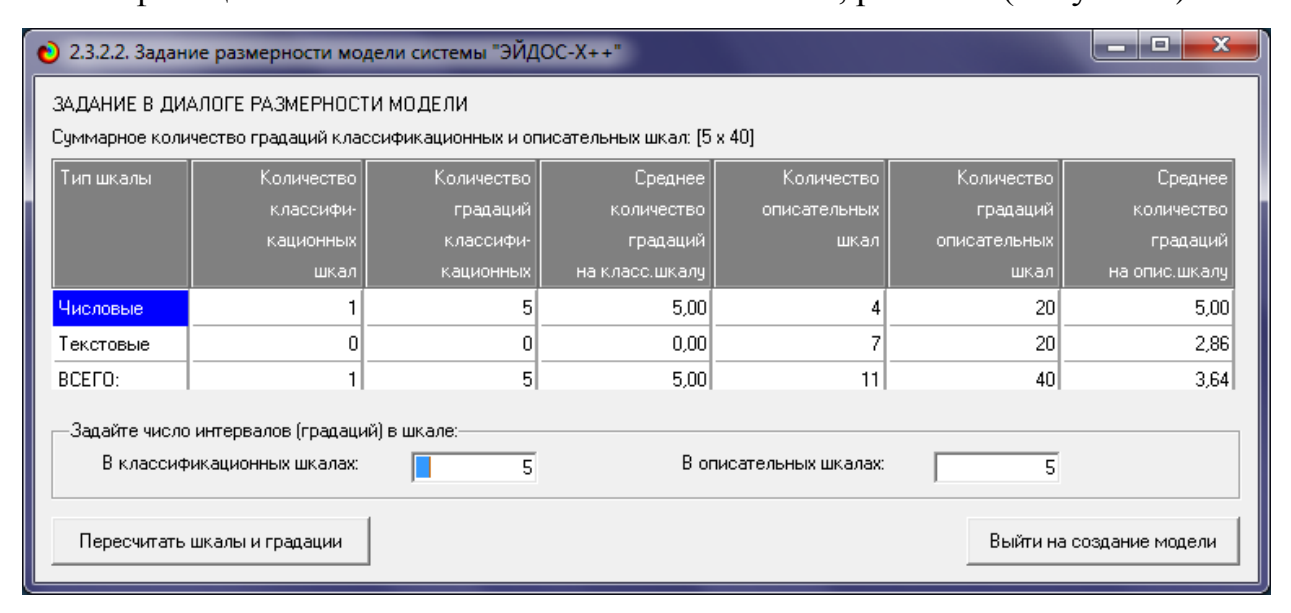


Рисунок 4 – Экранная форма задания размерности модели.

Далее открывается окно, отображающее стадию процесса импорта данных из внешней БД "Inp_data.xls" в систему "Эйдос" (рисунок 5) и прогноз времени завершения этого процесса. Здесь необходимо дождаться завершения формализации предметной области и нажать кнопку "ОК".

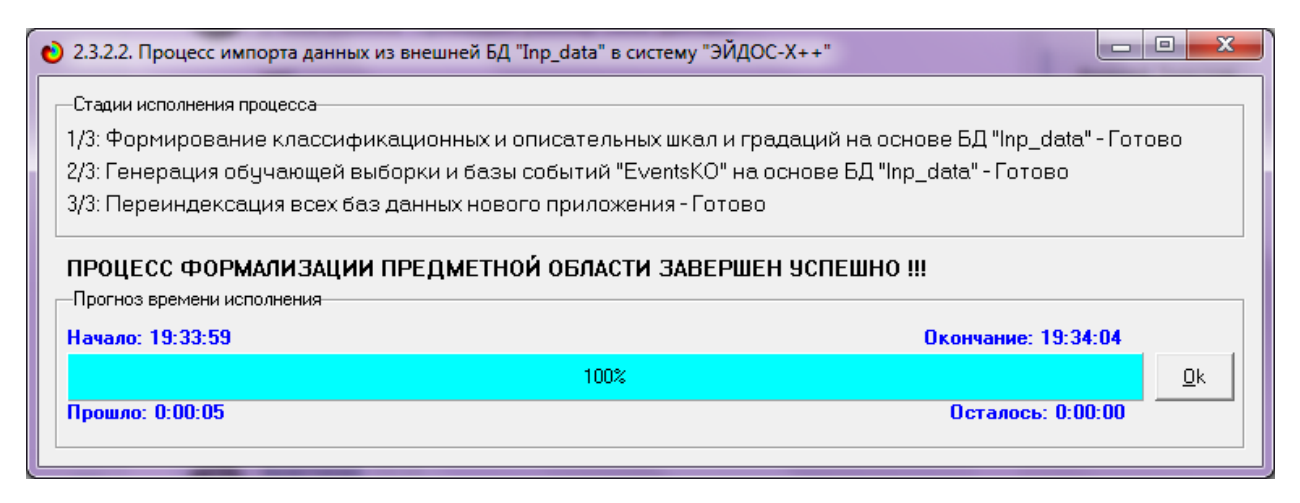


Рисунок 5 – Процесс импорта данных

В результате формируются классификационные и описательные шкалы и градации, с применением которых исходные данные кодируются и представляются в форме эвентологических баз данных. Этим самым полностью автоматизировано выполняется 2-й этап АСК-анализа «Формализация предметной области». Для просмотра классификационных шкал и градаций необходимо запустить режим 2.1 (рисунок 6).

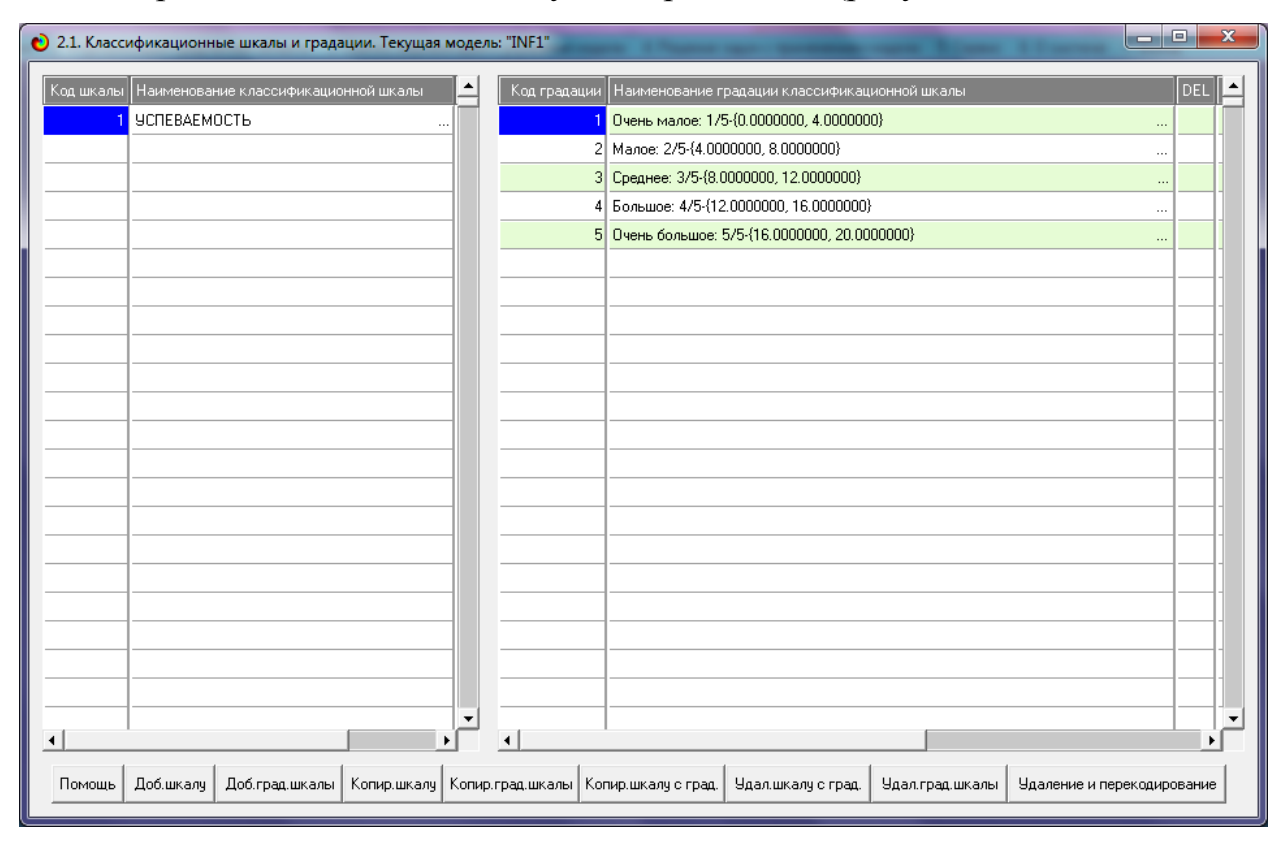


Рисунок 6 – Классификационные шкалы и градации

Для просмотра описательных шкал и градаций необходимо запустить режим 2.2 (рисунок 7), а обучающей выборки – режим 2.3.1. (рисунок 8).

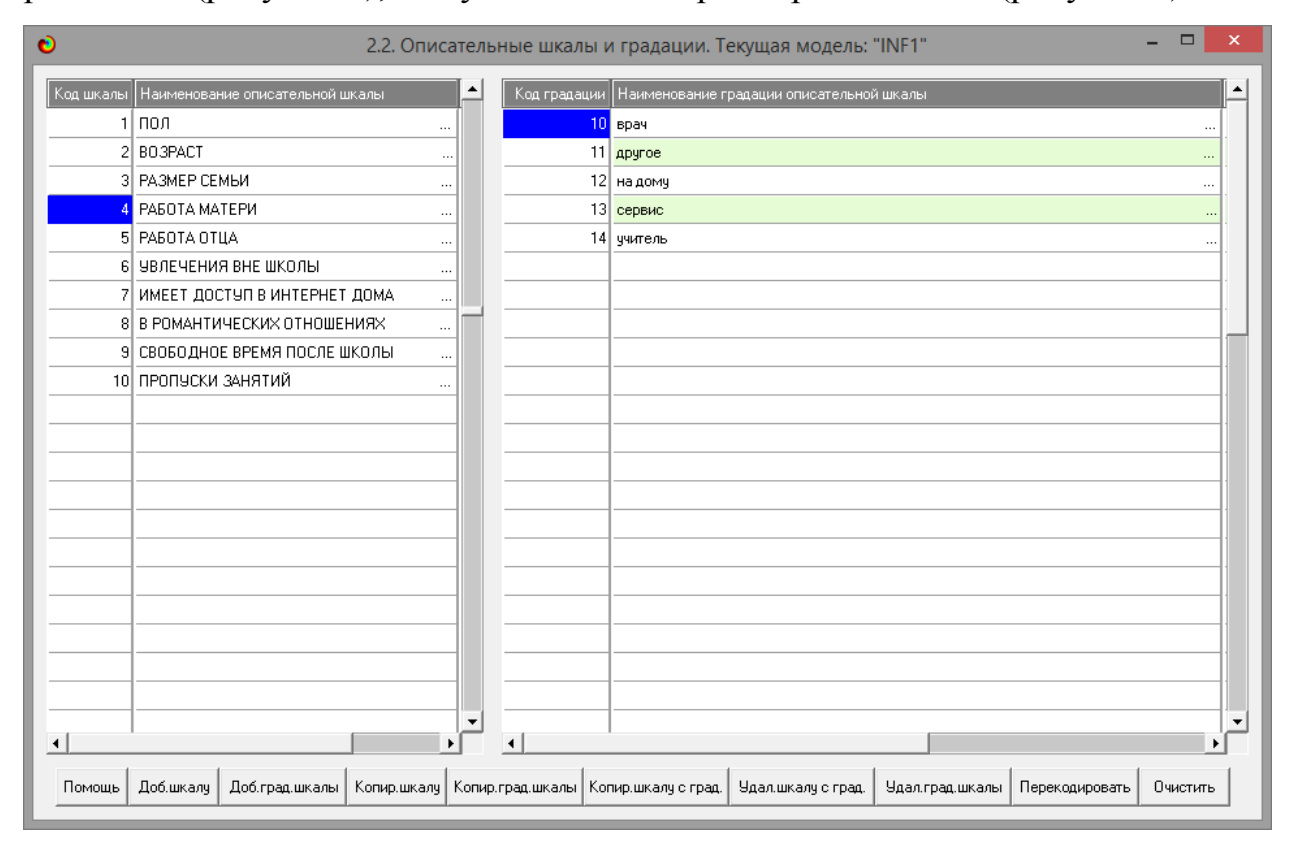


Рисунок 7 – Описательные шкалы

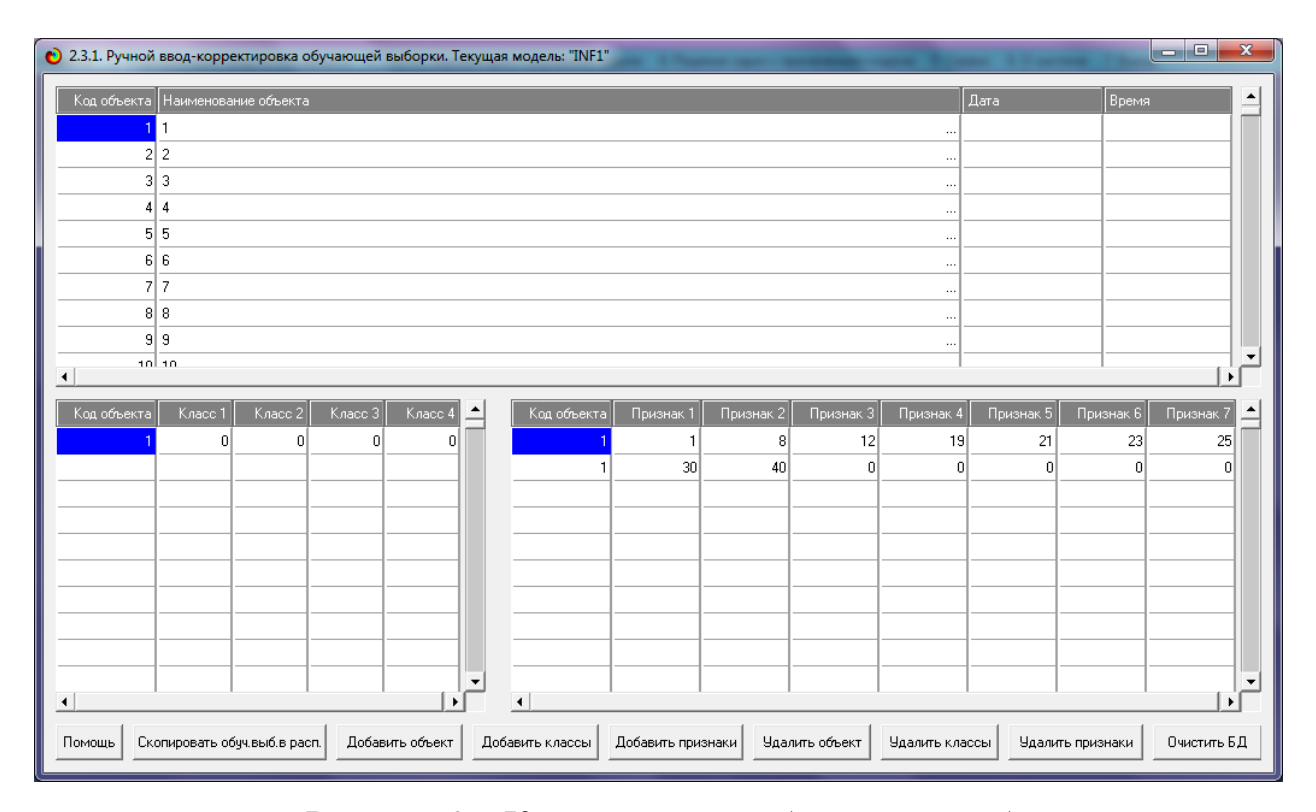


Рисунок 8 – Корректировка обучающей выборки

Тем самым создаются все необходимые и достаточные предпосылки для выявления силы и направления причинно-следственных связей между значениями факторов и результатами их совместного системного воздействия.

1.3. Синтез и верификация статистических и интеллектуальных моделей

Далее запускаем режим 3.5, в котором задаются модели для синтеза и верификации, а также задается модель, которой по окончании режима присваивается статус текущей (рисунок 9).

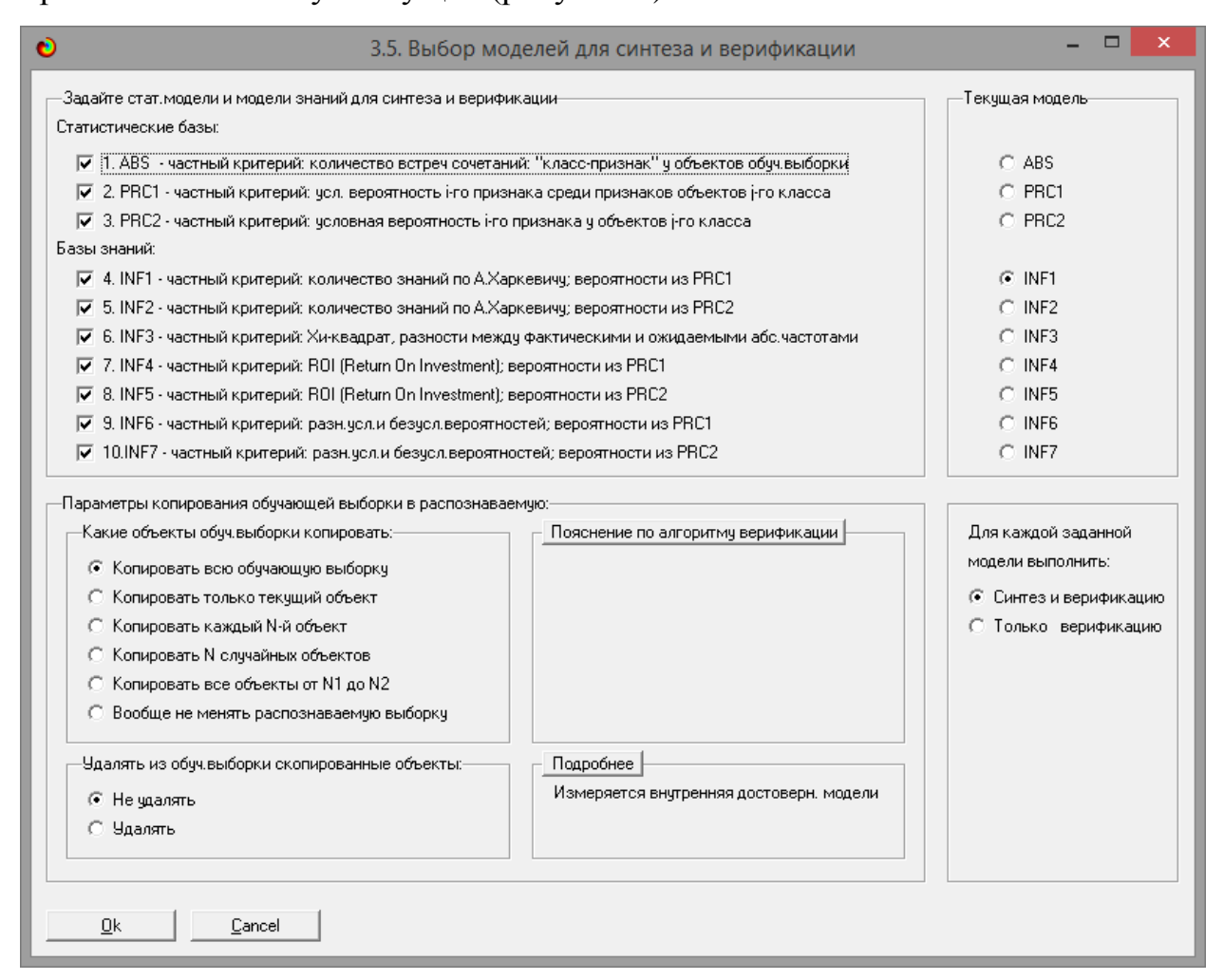


Рисунок 9 – Выбор моделей для синтеза и верификации

В данном режиме имеется много различных методов верификации моделей, в том числе и поддерживающие бутстрепный метод. Оставляем здесь всё без изменений. Стадия процесса исполнения режима 3.5 и прогноз времени его окончания отображаются на экранной форме, приведенной на рисунке 10.

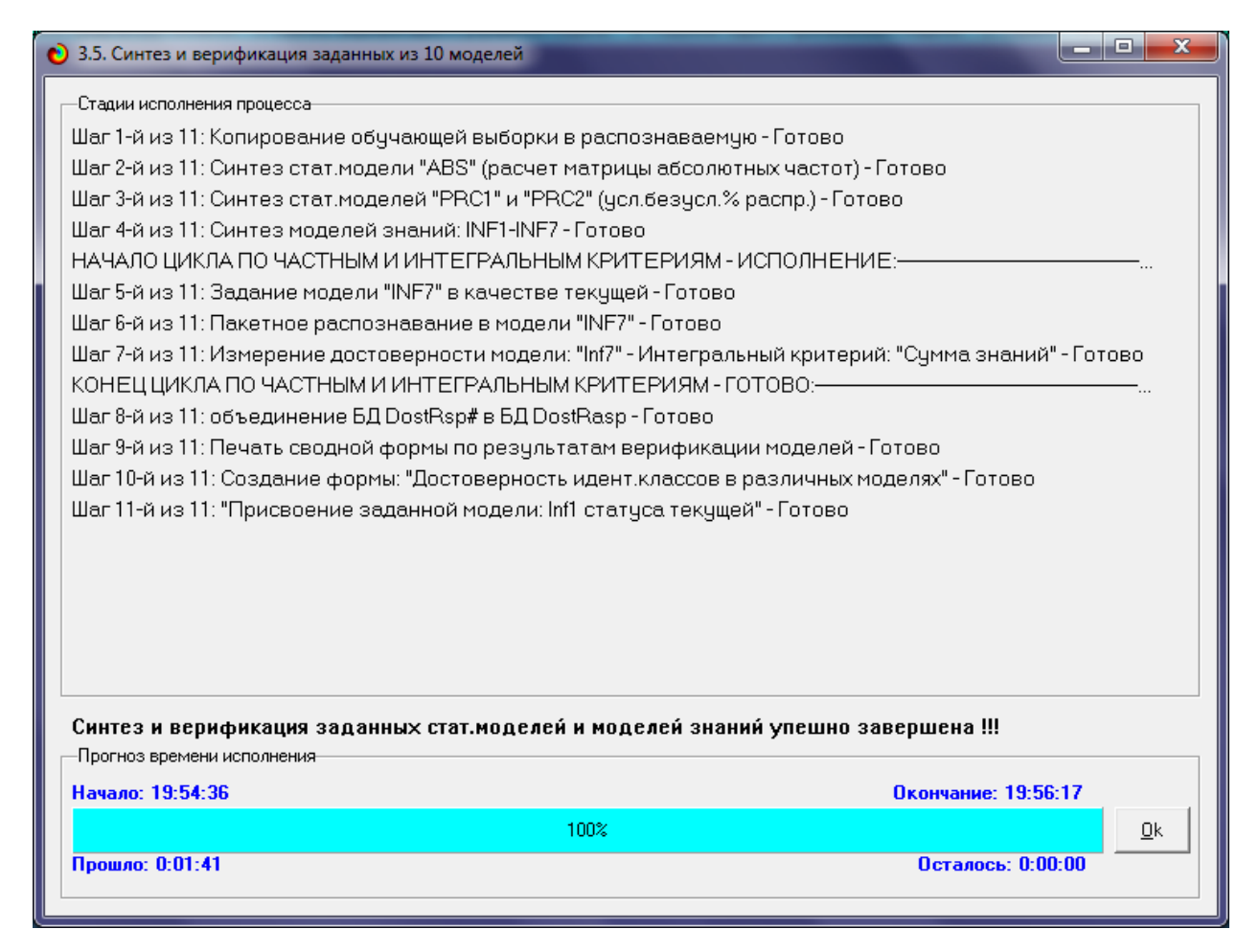


Рисунок 10 - Синтез и верификация заданных моделей

Синтез и верификация всех 10 моделей на данной задаче заняли 1.41 минуты. При этом верификация (оценка достоверности моделей) проводилась на всех примерах наблюдения из обучающей выборки.

1.4. Виды моделей системы «Эйдос»

Рассмотрим решение задачи идентификации на примере модели INF1, в которой рассчитано количество информации по А.Харкевичу, которое мы получаем о принадлежности идентифицируемого объекта к каждому из классов, если знаем, что у этого объекта есть некоторый признак.

По сути, частные критерии представляют собой просто формулы для преобразования матрицы абсолютных частот (таблица 1) в матрицы условных и безусловных процентных распределений, и матрицы знаний (таблицы 2 и 3).

Таблица 1 – Матрица абсолютных частот (модель ABS (фрагмент))

од	Наименование описательной	1.	2.	3.	4.	5.	Сумма	Среднее	Средн.
ризнака	шкалы и градации	УСПЕВАЕМ	УСПЕВАЕМ	УСПЕВАЕМ	УСПЕВАЕМ	УСПЕВАЕМ			квадр.
		ОЧЕНЬ	малое:	СРЕДНЕЕ:	БОЛЬШОЕ:	ОЧЕНЬ			
		малое:	2/5	3/5	4/5	БОЛЬШОЕ:			
		1/5	{4.0000000,	{8.0000000,	{12.0000000,	5/5			
		{0.0000000,	8.0000000)	12.00000000}	16.0000000)	{16.0000000,			
<u> </u>		4.0000000)				20.00000000}			
1	пол-ж	24	34	87	53	10	208	41.600	29.8
2	ПОЛ-м	15	29	75	54	14	187	37.400	26.51
3	ВОЗРАСТ-Очень малое: 1/5-(15.0000000, 16.400000	13	26	74	59	14	186	37.200	27.7
4	BO3PACT-Малое: 2/5-{16.4000000, 17.8000000}	9	15	45	25	4	98	19.600	16.2
5	ВОЗРАСТ-Среднее: 3/5-{17.8000000, 19.2000000}	17	20	42	22	5	106	21.200	13.3
6	ВОЗРАСТ-Большое: 4/5-{19.2000000, 20.6000000}			1	1	1	3	0.600	0.54
7	ВОЗРАСТ-Очень большое: 5/5-{20.6000000, 22.0000		2				2	0.400	0.85
8	РАЗМЕР СЕМЬИ-более 3-х	32	46	113	74	16	281	56.200	38.23
9	РАЗМЕР СЕМЬИ-до 3-х	7	17	49	33	8	114	22.800	17.9
10	РАБОТА МАТЕРИ-врач	2	3	10	17	2	34	6.800	6.6
11	РАБОТА МАТЕРИ-другое	15	28	60	35	3	141	28.200	21.6
12	РАБОТА МАТЕРИ-на дому	9	9	26	14	1	59	11.800	9.21
13	РАБОТА МАТЕРИ-сервис	9	16	41	23	14	103	20.600	12.40
14	РАБОТА МАТЕРИ-учитель	4	7	25	18	4	58	11.600	9.4
15	РАБОТА ОТЦА-врач		4	- 6	7	1	18	3.600	3.0
16	РАБОТА ОТЦА-другое	22	38	90	56	11	217	43.400	31.09
17	РАБОТА ОТЦА-на дому	3	2	7	7	1	20	4.000	2.8
18	РАБОТА ОТЦА-сервис	11	16	51	28	5	111	22.200	18.1
19	РАБОТА ОТЦА-учитель	3	3	8	9	6	29	5.800	2.7
20	АКТИВИСТ ВНЕ ШКОЛЫ-да	21	26	86	54	14	201	40.200	29.70

Таблица 2 – Матрица знаний (модель INF1 (фрагмент))

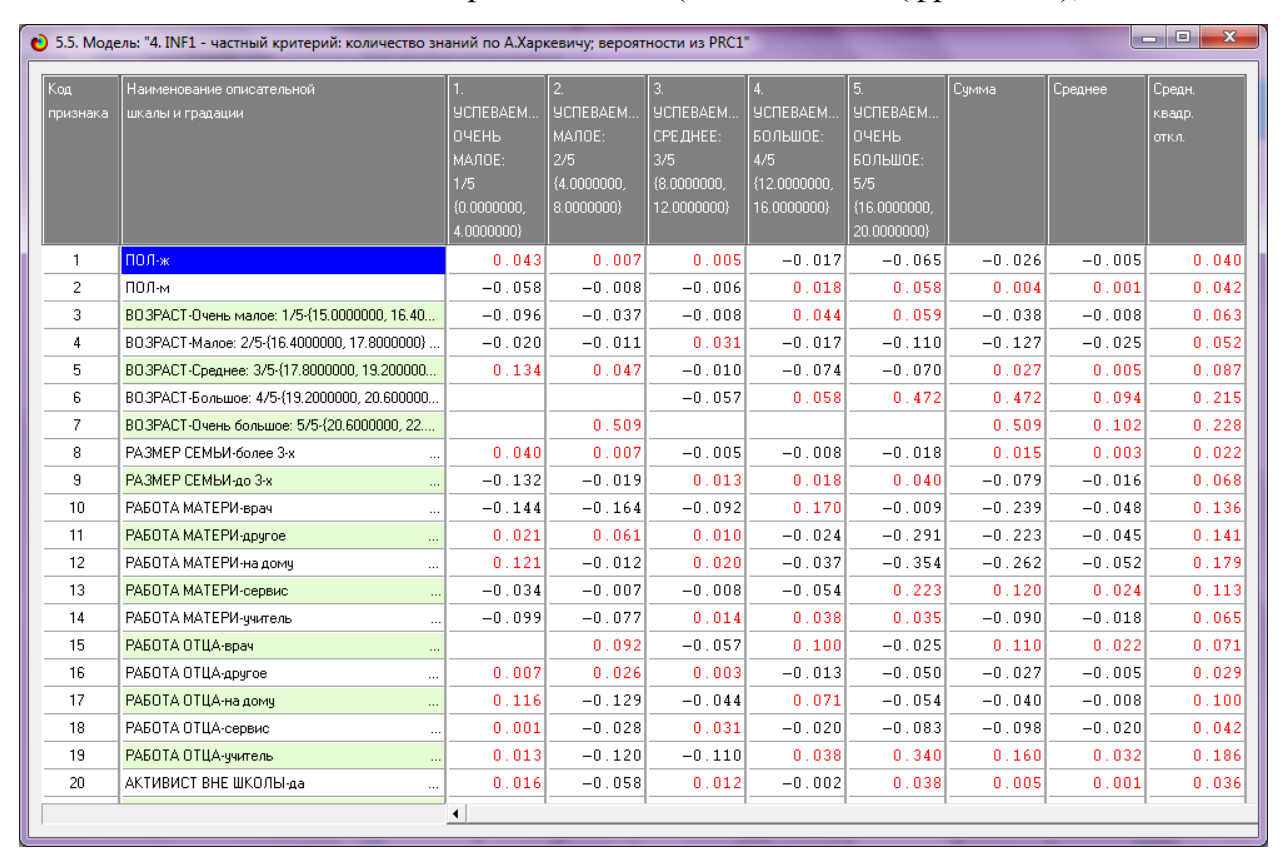


Таблица 3 – Матрица знаний (модель INF3) (фрагмент)

ОД	Наименование описательной	1.	2.	3.	4.	5.	Сумма	Среднее	Средн.
 іризнака	шкалы и градации	УСПЕВАЕМ	ЭСПЕВАЕМ	УСПЕВАЕМ	УСПЕВАЕМ	ЭСПЕВАЕМ			квадр.
		ОЧЕНЬ	малое:	СРЕДНЕЕ:	БОЛЬШОЕ:	ОЧЕНЬ			
		малое:	2/5	3/5	4/5	БОЛЬШОЕ:			
		1/5	{4.0000000,	{8.0000000,	{12.0000000,	5/5			
		{0.0000000, 4.0000000}	8.0000000}	12.0000000)	16.0000000)	{16.0000000, 20.00000000}			
	700		0.005	1 (01	0.044				
1	пол-ж	3.463		1.694	-3.344	-2.638		_	2.9
2	ПОЛ-м	-3.463			3.344	2.638			2.9
3	ВОЗРАСТ-Очень малое: 1/5-{15.0000000, 16.40	-5.365		-2.284	8.615	2.699			5.6
4	BO3PACT-Manoe: 2/5-{16.4000000, 17.8000000}	-0.676				-1.954			2.7
5	ВОЗРАСТ-Среднее: 3/5-{17.8000000, 19.200000	6.534		-1.473	-6.714	-1.441			5.0
6	ВОЗРАСТ-Большое: 4/5-{19.2000000, 20.600000	-0.296	-0.478		0.187	0.818			0.5
7	ВОЗРАСТ-Очень большое: 5/5-{20.6000000, 22	-0.197	1.681	-0.820	-0.542	-0.122		_	0.9
8	РАЗМЕР СЕМЬИ-более 3-х	4.256		-2.246	-2.119	-1.073		_	2.7
9	РАЗМЕР СЕМЬИ-до 3-х	-4.256		2.246	2.119	1.073		_	2.7
10	РАБОТА МАТЕРИ-врач	-1.357		-3.944	7.790	-0.066		_	4.5
11	РАБОТА МАТЕРИ-другое	1.078		2.172	-3.195	-5.567		_	4.4
12	РАБОТА МАТЕРИ-на дому	3.175			-1.982	-2.585			2.4
13	РАБОТА МАТЕРИ-сервис	-1.170			-4.901	7.742			4.6
14	РАБОТА МАТЕРИ-учитель	-1.727		1.213		0.476			1.9
15	РАБОТА ОТЦА-врач	-1.777	1.129	-1.382	2.124	-0.094			1.6
16	РАБОТА ОТЦА-другое	0.575			-2.782	-2.185			2.5
17	РАБОТА ОТЦА-на дому	1.025	-1.190		1.582	-0.215			1.2
18	РАБОТА ОТЦА-сервис	0.041	-1.704	5.476	-2.068	-1.744			3.1
19	РАБОТА ОТЦА-учитель	0.137			1.144	4.238			3.0
20	АКТИВИСТ ВНЕ ШКОЛЫ-да	1.154	-6.058	3.565	-0.448	1.787			3.6

1.5. Результаты верификации моделей

Результаты верификации (оценки достоверности) моделей, отличающихся частными критериями с двумя приведенными выше интегральными критериями приведены на рисунке 12.

				Средний модуль	Средний модуль	Средний модуль	Средний модуль	А-Точность	А-Полнота	L2-мера	Про
				уровней сходс	уровней сходс	уровней сходс	уровней сходс				
			Е.В.Луценко							Е.В.Луценко	
				решений	решений	решений	решений	= ATP/(ATP	= ATP/(ATP		
BS - частный критерий; количество встреч сочетаний; "клас	Корреляция абс.частот с обр	.000	0.356	0.570	0.004	0.517	0.090	0.524	0.992	0.686	4
BS—частный критерий: количество встреч сочетаний: "клас	Сумма абс.частот по признак	.000	0.441	0.575		0.365		0.612	1.000	0.759	•
RC1 - частный критерий: усл. вероятность i-го признака сред	Корреляция усл.отн.частот с о	.000	0.356	0.570	0.004	0.517	0.090	0.524	0.992	0.686	
RC1 - частный критерий: усл. вероятность i-го признака сред	Сумма усл.отн.частот по приз	.000	0.339	0.733		0.716		0.506	1.000	0.672	2
RC2 - частный критерий: условная вероятность i-го признак	Корреляция усл.отн.частот с о	.000	0.356	0.570	0.004	0.517	0.090	0.524	0.992	0.686	
RC2 - частный критерий: условная вероятность i-го признак	Сумма усл.отн.частот по приз	.000	0.339	0.733		0.716		0.506	1.000	0.672	2
VF1 - частный критерий: количество знаний по А.Харкевичу;	Семантический резонанс зна	. 850	0.522	0.309	0.143	0.216	0.246	0.588	0.683	0.632	
IF1 - частный критерий: количество знаний по А.Харкевичу;	Сумма знаний	. 709	0.469	0.103	0.064	0.091	0.179	0.530	0.616	0.570	
IF2 · частный критерий: количество знаний по А.Харкевичу;	Семантический резонанс зна	. 850	0.522	0.309	0.143	0.216	0.246	0.588	0.683	0.632	1
IF2 · частный критерий: количество знаний по А.Харкевичу;	Сумма знаний	.709	0.469	0.103	0.064	0.091	0.179	0.530	0.616	0.570	
IF3 - частный критерий: Хи-квадрат, разности между фактич	. Семантический резонанс зна	.730	0.426	0.310	0.214	0.262	0.267	0.543	0.592	0.566	
IF3 - частный критерий: Хи-квадрат, разности между фактич	. Сумма знаний	.722	0.438	0.334	0.240	0.265	0.276	0.558	0.582	0.570	
IF4 - частный критерий: ROI (Return On Investment); вероятно	. Семантический резонанс зна	.723	0.533	0.299	0.156	0.218	0.236	0.578	0.657	0.615	
JF4 - частный критерий: ROI (Return On Investment); вероятно	. Сумма знаний	.846	0.443	0.104	0.038	0.092	0.093	0.529	0.730	0.613	Г
IF5 - частный критерий: ROI (Return On Investment); вероятно	. Семантический резонанс зна	.723	0.533	0.299	0.156	0.218	0.236	0.578	0.657	0.615	
NF5 - частный критерий: ROI (Return On Investment); вероятно	. Сумма знаний	.846	0.443	0.104	0.038	0.092	0.093	0.529	0.730	0.613	ΙT
VF6 - частный критерий: разн.усл.и безусл.вероятностей; вер	Семантический резонанс зна	.721	0.425	0.310	0.216	0.263	0.270	0.541	0.589	0.564	Г
VF6 - частный критерий: разн.усл.и безусл.вероятностей; вер	Сумма знаний	.815	0.385	0.149	0.063	0.159	0.157	0.483	0.702	0.572	Г
NF7 - частный критерий: разн.усл.и безусл.вероятностей; ве	. Семантический резонанс зна	.721	0.425	0.310	0.216	0.263	0.270	0.541	0.589	0.564	Г
NF7 - частный критерий: разн.усл.и безусл.вероятностей; ве	. Сумма знаний	815	0.385	0.149	0.063	0.159	0.157	0.483	0.702	0.572	1
		4									

Рисунок 12 – Оценки достоверности моделей

Наиболее достоверной в данном приложении оказались модели INF4, INF5 и ABS при интегральном критерии «Резонанс знаний». При этом достоверность модели в соответствии с критерием согласия Пирсона составляет 0,759, что является очень хорошим результатом. Таким образом, уровень достоверности прогнозирования с применением модели выше, чем экспертных оценок, достоверность которых считается равной примерно 70%. Для оценки достоверности моделей в АСК-анализе и системе «Эйдос» **F**-критерий Ризбергена, используется Ван также L-критерий, предложенный проф.Е.В.Луценко [11]И являющийся нечетким мультиклассовым обобщением F-критерия.

На рисунке 12 приведены частные распределения уровней сходства и различия для верно и ошибочно идентифицированных и неидентифицированных ситуаций в наиболее достоверной модели INF4.

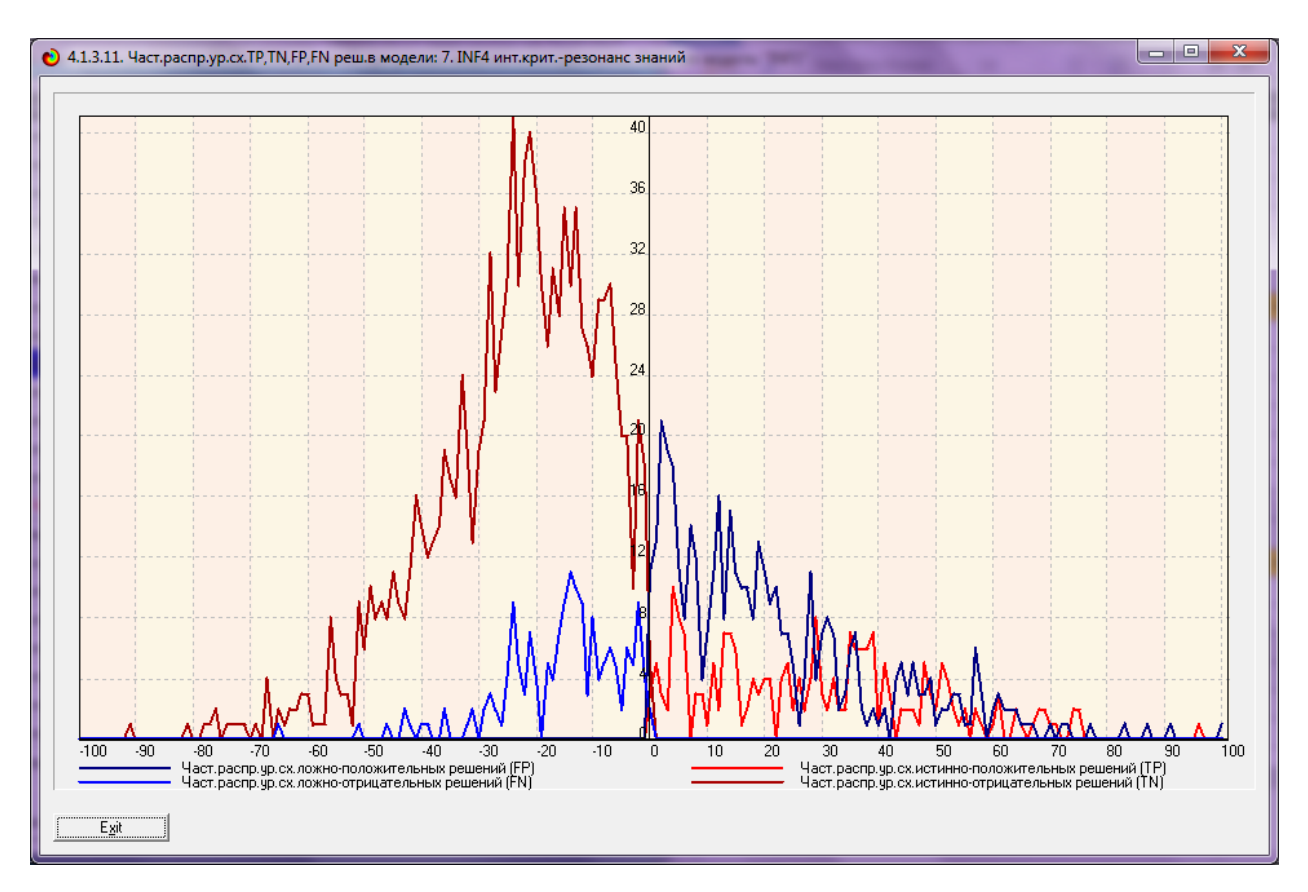


Рисунок 12 — Частное распределение сходства-различия верно и ошибочно идентифицированных и неидентифицированных состояний объекта моделирования в модели INF4.

Из рисунка 13 видно, что:

- наиболее достоверная модель INF4 лучше определяет непринадлежность объекта к классу, чем принадлежность.
- модуль уровня сходства-различия в наиболее достоверной модели INF2 для верно идентифицированных и верно неидентифицированных и объектов значительно выше, чем для ошибочно идентифицированных и ошибочно неидентифицированных. Это верно практически для всего диапазона уровней сходства-различия, кроме небольших по значений в диапазоне от 0 до 60. Для очень больших значений уровней сходства-различия (более 50%) также различие между верно и ошибочно идентифицированными и неидентифицированными ситуациями практически отсутствует.

2 РЕШЕНИЕ ЗАДАЧ ИДЕНТИФИКАЦИИ В НАИБОЛЕЕ ДОСТОВЕРНОЙ МОДЕЛИ

2.1. Решение задачи

В соответствии с технологией АСК-анализа зададим текущей модель INF4 (режим 5.6) (рисунок 13) и проведем пакетное распознавание в режиме 4.2.1 (рисунок 14).

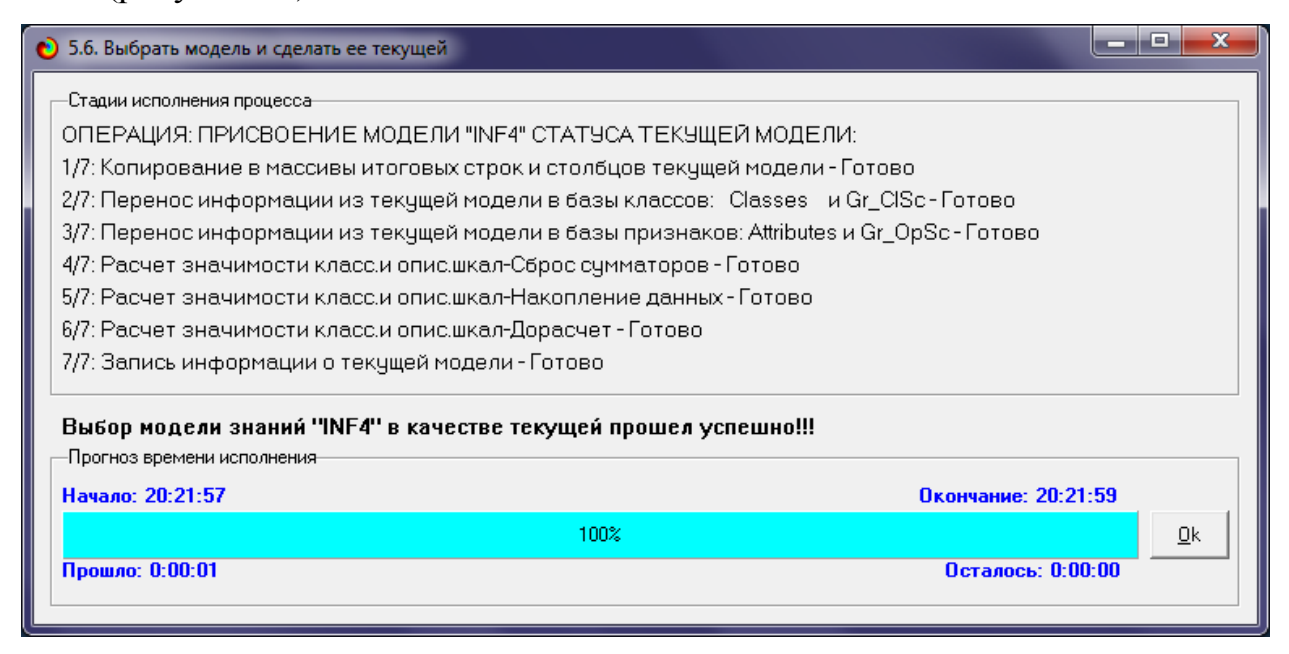


Рисунок 13 — Экранные формы режима задания модели в качестве текущей.

В результате пакетного распознавания в текущей модели создается ряд баз данных, которые визуализируются в выходных экранных формах, отражающих результаты решения задачи идентификации и прогнозирования.

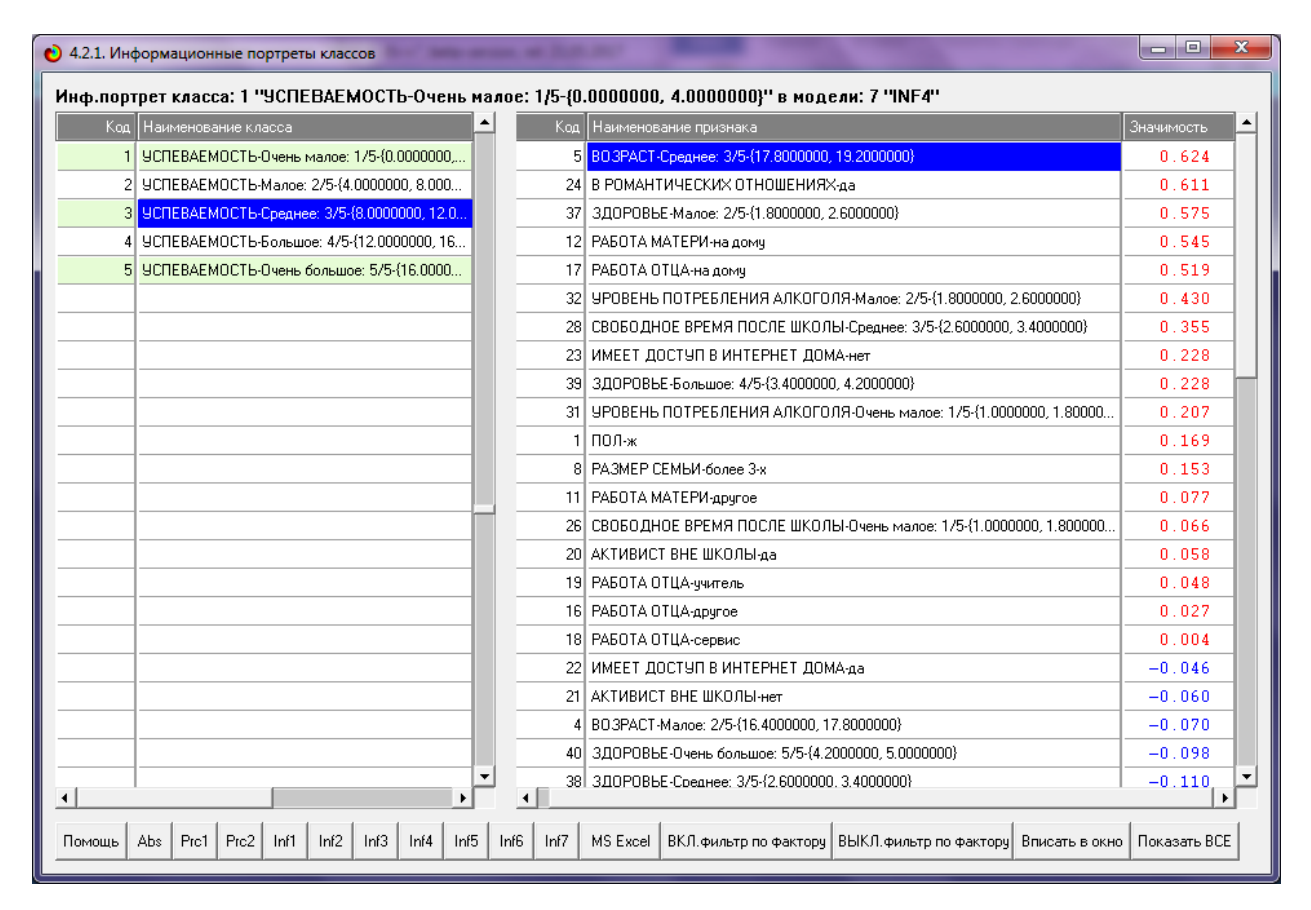


Рисунок 15 — Экранная форма информационного портрета класса в модели INF4

Режим 4.1.3 системы «Эйдос» обеспечивает отображение результатов идентификации и прогнозирования в различных формах:

- 1. Подробно наглядно: "Объект классы".
- 2. Подробно наглядно: "Класс объекты".
- 3. Итоги наглядно: "Объект классы".
- 4. Итоги наглядно: "Класс объекты".
- 5. Подробно сжато: "Объект классы".
- 6. Обобщенная форма по достоверности моделей при разных интегральных критериях.
- 7. Обобщенный статистический анализ результатов идентификации по моделям и интегральным критериям.
- 8. Статистический анализ результатов идентификации по классам, моделям и интегральным критериям.

- 9. Распознавание уровня сходства при разных моделях и интегральных критериях.
- 10.Достоверность идентификации классов при разных моделях и интегральных критериях.

Ниже кратко рассмотрим некоторые из них. На рисунке 16 и 17 приведены примеры прогнозов высокой и низкой достоверности индекса качества жизни в наиболее достоверной модели INF4 на основе рейтинга UCI.

Следует заметить, что при данном вычислении были выявлены погрешности в рейтинге UCI.

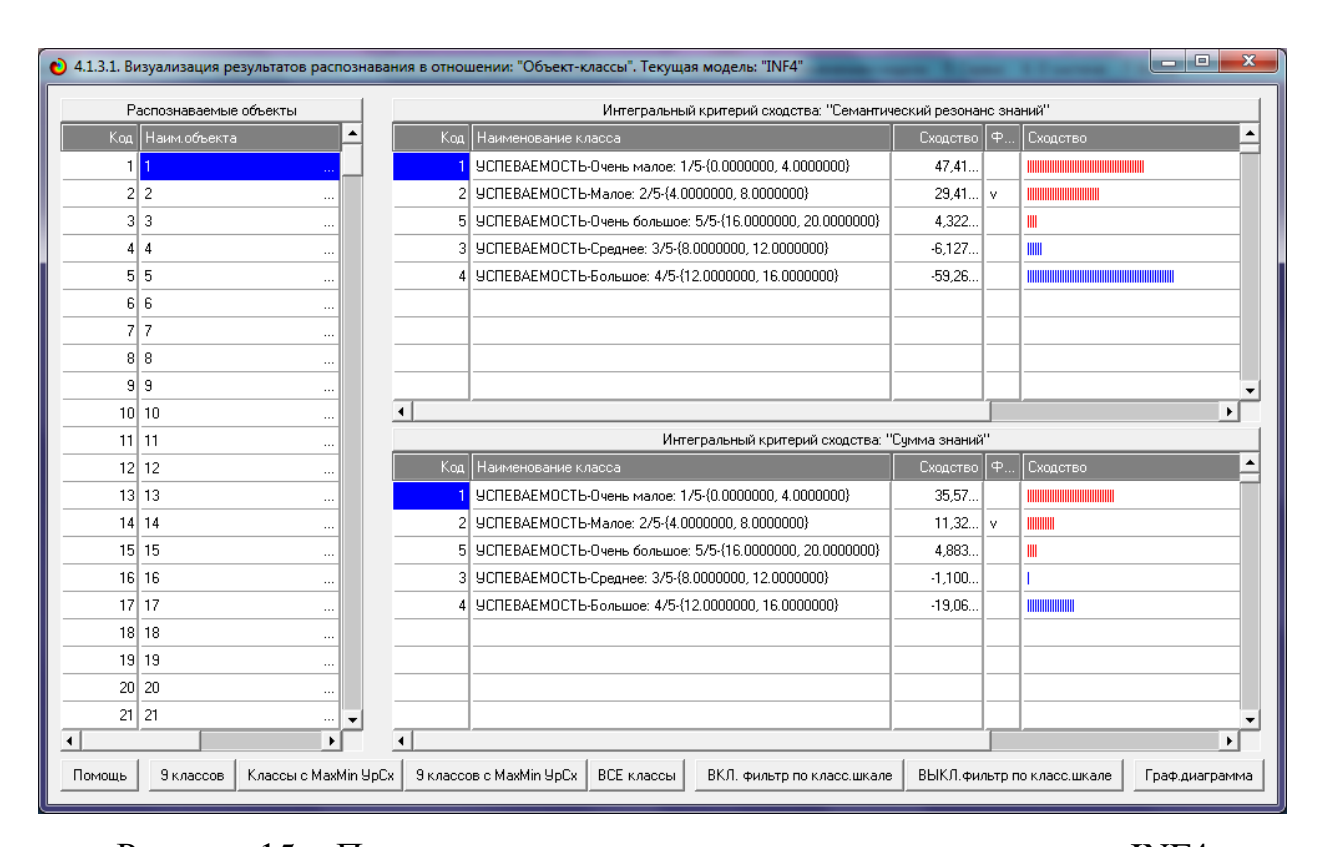


Рисунок 15 – Пример оценки успеваемости учеников в модели INF4

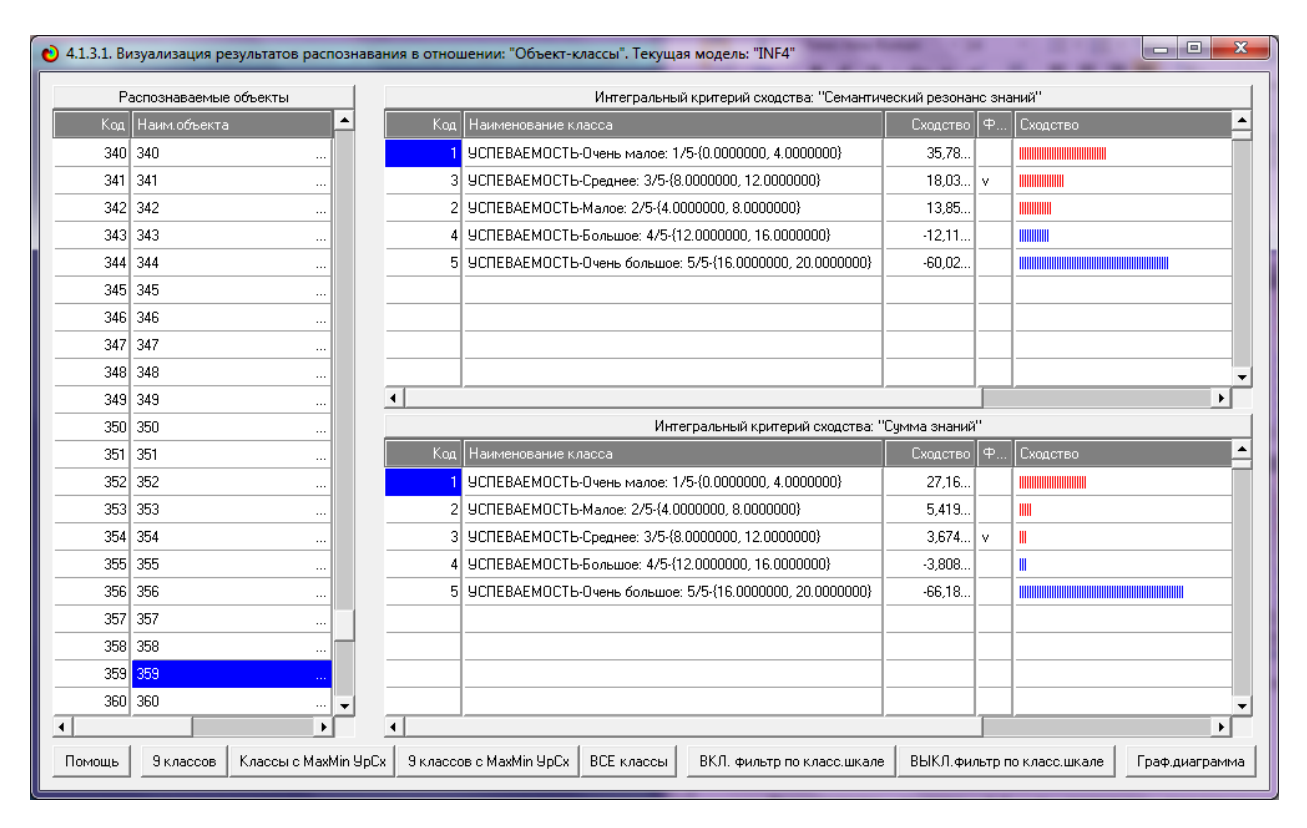


Рисунок 17 – Пример оценки успеваемости учеников в модели INF4

2.2. Когнитивные функции

Рассмотрим режим 4.5, в котором реализована возможность визуализации когнитивных функций для любых моделей и любых сочетаний классификационных и описательных шкал (рисунок 18).

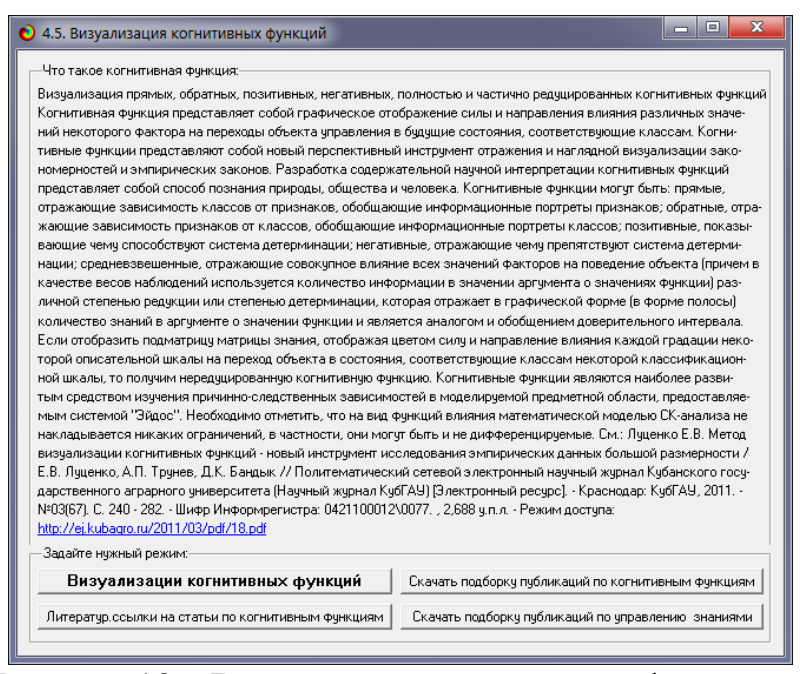


Рисунок 18 – Визализация когнитивных функций

Применительно к задаче, рассматриваемой в данной работе, когнитивная функция показывает, какое количество информации содержится в различных значениях факторов о том, что объект моделирования перейдет в те или иные будущие состояния. Когнитивным функциям посвящено много работ автора, но наиболее новой и обобщающей из них является работа. Поэтому здесь не будем останавливаться на описании того, что представляют собой когнитивные функции в АСК-анализе. На рисунках 18 и 19 приведены визуализации всех когнитивных функций данного приложения для модели INF4.

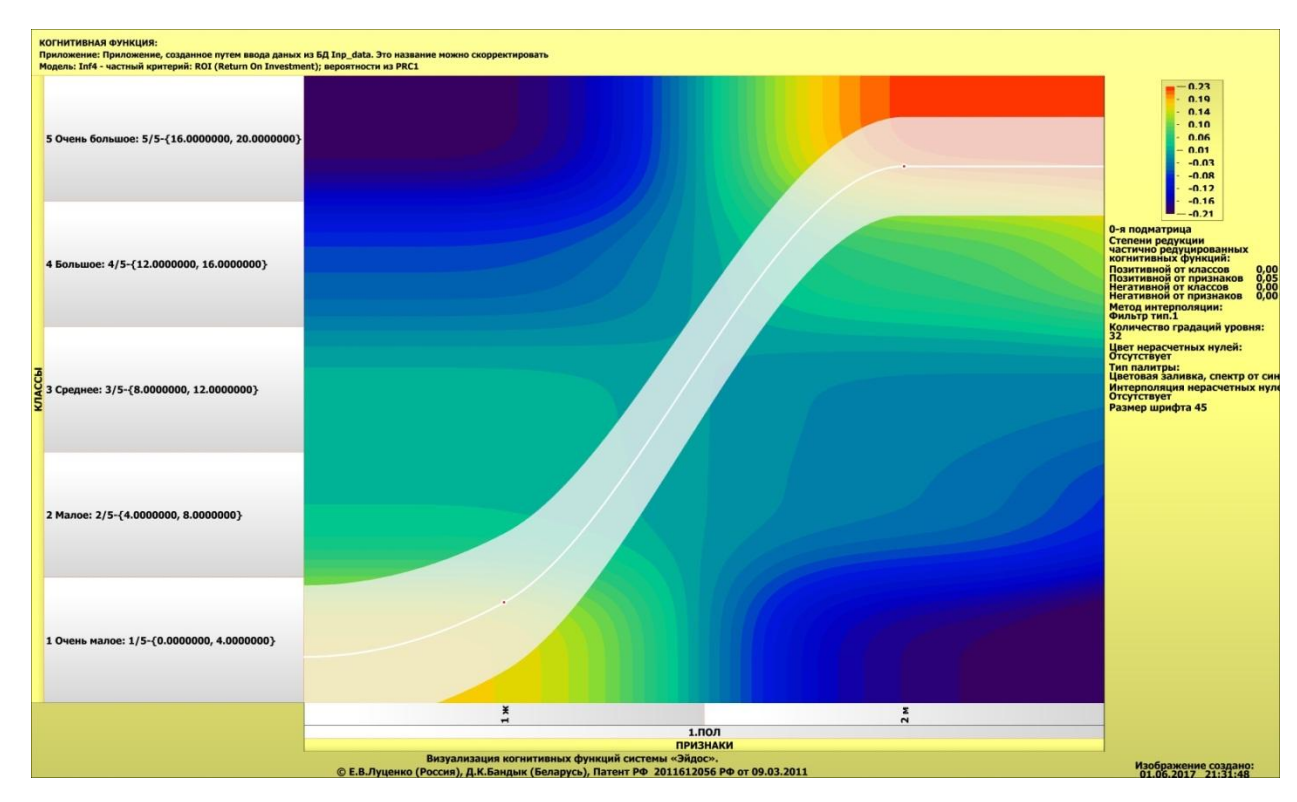
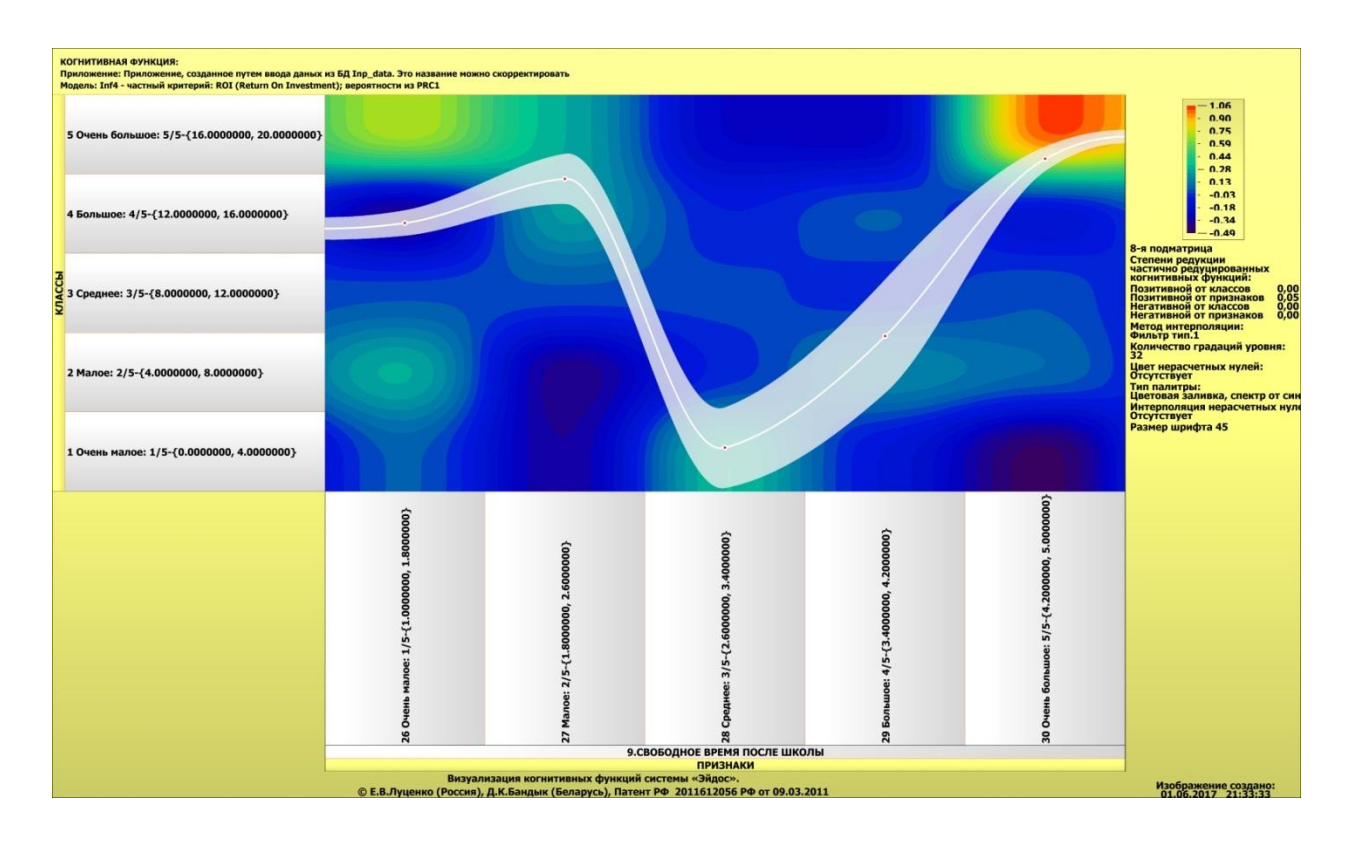


Рисунок 18 – Визуализация когнитивных функций для обобщенных классов и всех описательных шкал для модели INF4.



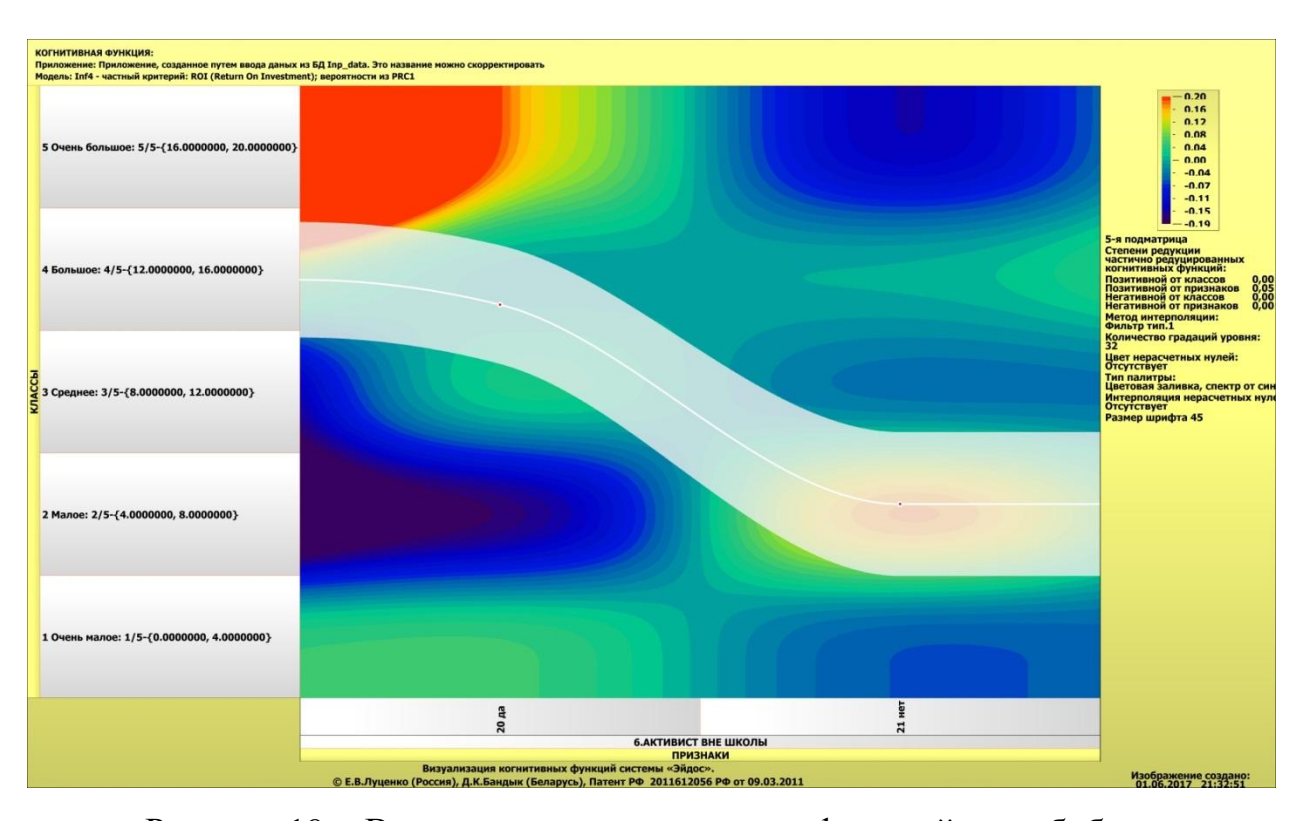


Рисунок 19 — Визуализация когнитивных функций для обобщенных классов и всех описательных шкал для модели INF4

2.3. SWOT и PEST матрицы и диаграммы

SWOT-анализ является широко известным и общепризнанным методом стратегического планирования. Однако это не мешает тому, что он подвергается критике, часто вполне справедливой, обоснованной и хорошо аргументированной. В результате критического рассмотрения SWOT-анализа выявлено довольно много его слабых сторон (недостатков), источником которых является необходимость привлечения экспертов, в частности для оценки силы и направления влияния факторов. Ясно, что эксперты это неформализуемым (интуитивно), делают путем на основе своего профессионального опыта и компетенции. Но возможности экспертов имеют свои ограничения и часто по различным причинам они не могут и не хотят это сделать. Таким образом, возникает проблема проведения SWOT- анализа без привлечения экспертов. Эта проблема может решаться автоматизации функций экспертов, т.е. путем измерения силы и направления влияния факторов непосредственно на основе эмпирических данных. Подобная технология разработана давно, ей уже около 30 лет, но она малоизвестна — это интеллектуальная система «Эйдос». Данная система всегда обеспечивала возможность проведения количественного автоматизированного SWOT-анализа без использования экспертных оценок непосредственно на основе эмпирических данных. Результаты SWOTанализа выводились в форме информационных портретов. В версии системы «Эйлос-Х++» MS Windows: предложено автоматизированное ПОД количественное решение прямой и обратной задач SWOT-анализа с построением традиционных SWOT-матриц и диаграмм (рисунок 20).

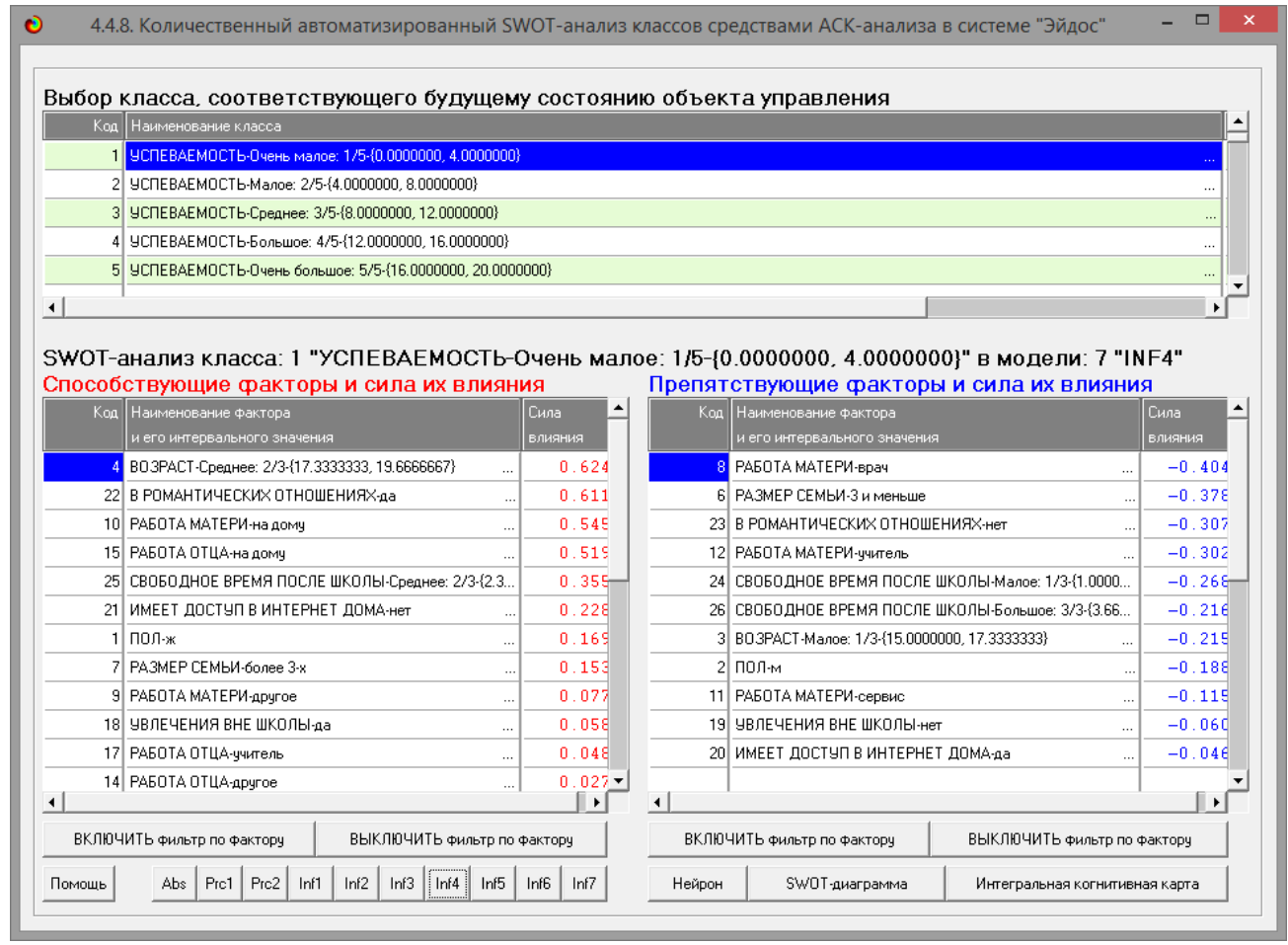


Рисунок 20 – Пример SWOT-матрицы в модели INF4

На рисунке 21 приведены примеры инвертированной SWOT- матрицы и инвертированной SWOT-диаграммы в модели INF4.

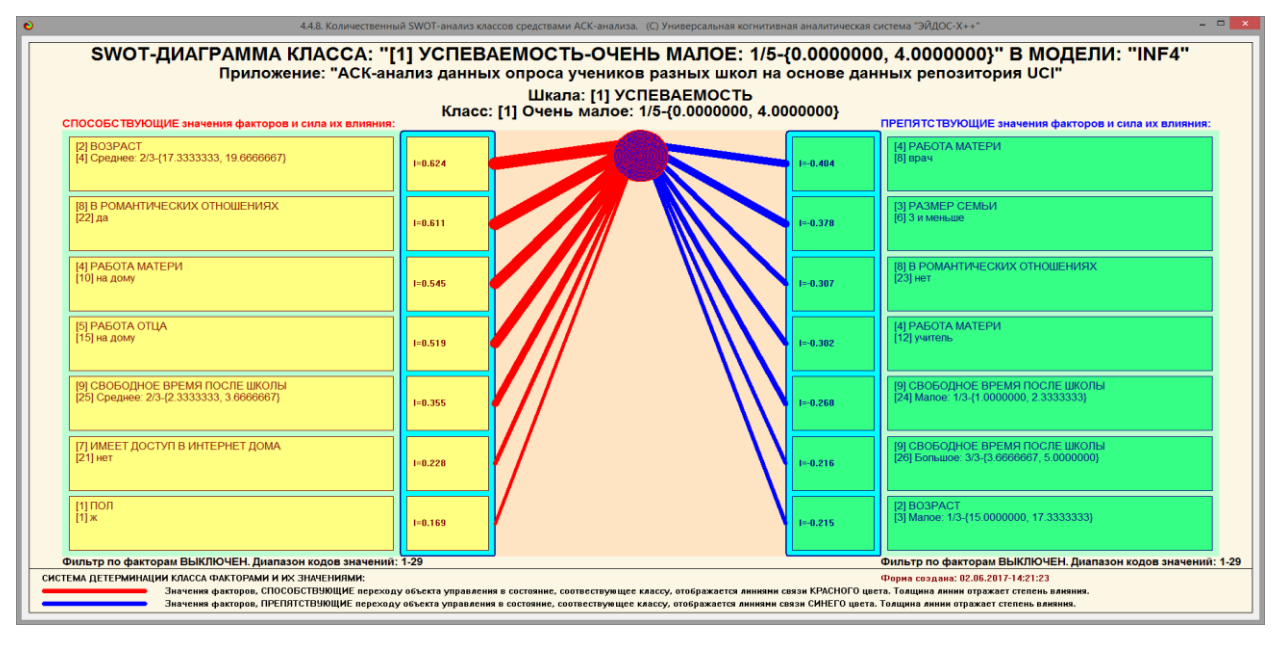


Рисунок 21. Пример SWOT-матрицы в модели INF4

Исходя из SWOT-матрицы, можно сделать вывод, что учеников с очень низкой успеваемостью характерно, что они находятся в романтических отношениях, они женского пола, их родители работают на дому и нет доступа в интернет дома.

2.4 Нелокальные нейроны и нейронная сеть

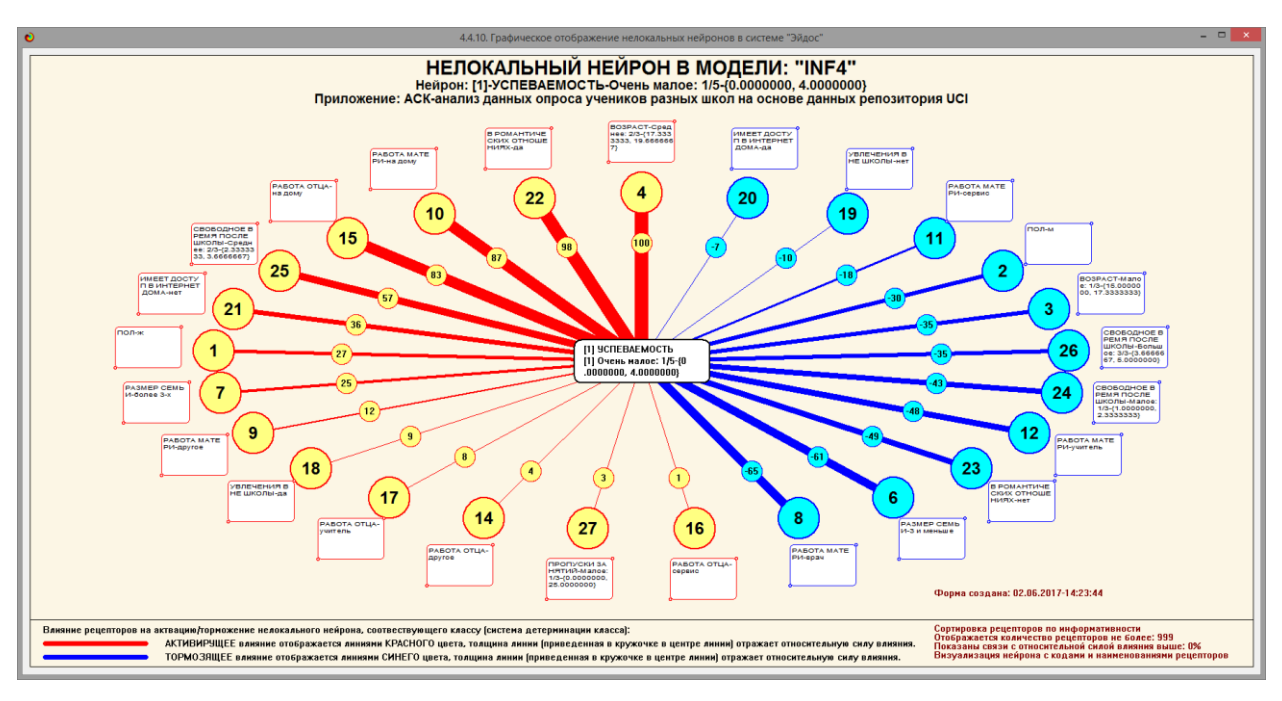


Рисунок 22. Пример графического отображения нелокальных нейронов

В качестве примера приведено графическое отображение нелокальных нейронов в модели INF4 на основе признака «Успеваемость-Очень малое». Каждому классу соответствует нейрон, совокупность которых образует нелокальную нейронную сеть. Отсюда можно сделать такой же вывод.

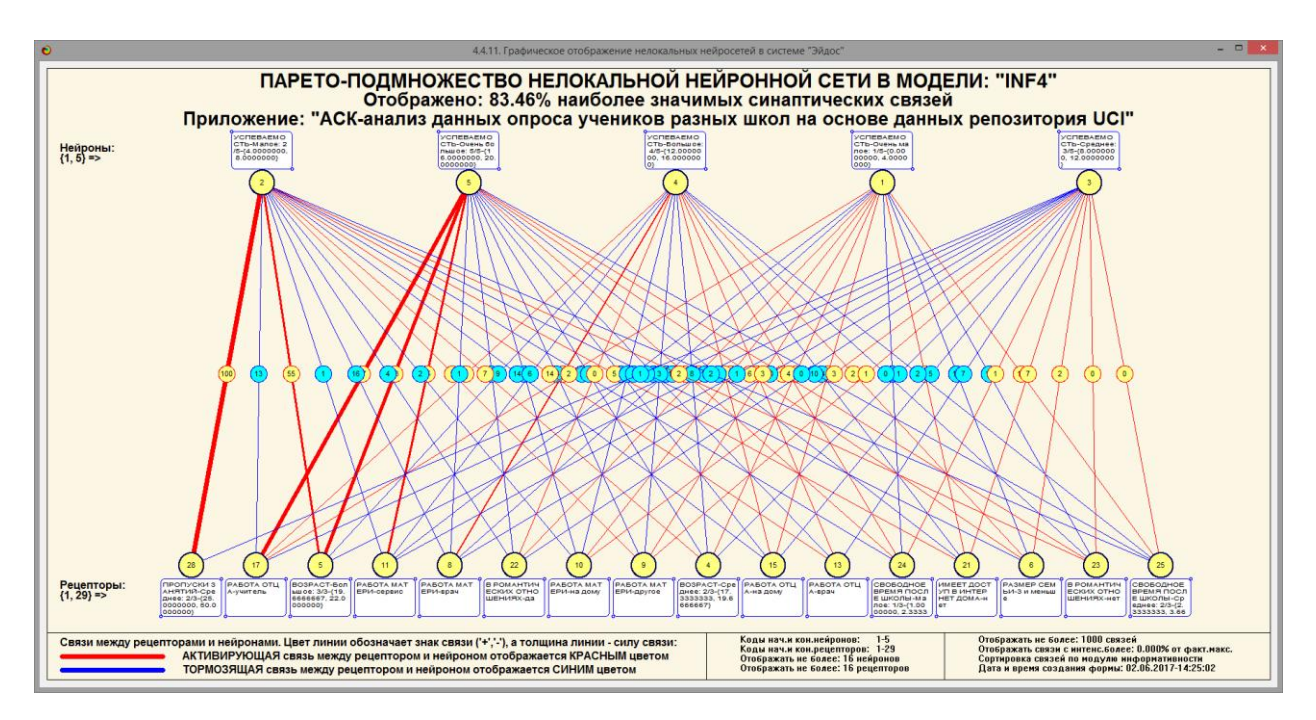


Рисунок 23. Пример графического отображения паретоподмножества нелокальной нейронной сети

На рисунке 23 в графическом отображения парето-подмножества нелокальной нейронной сети в модели INF4 у классов слева сильнее связи между значениями факторов и результатом [9].

Из рисунка 23 видно, что, например, 5 и 17 (успеваемость и работа отца) признаки имеют сходство.

2.5 Кластерный и конструктивный анализ классов

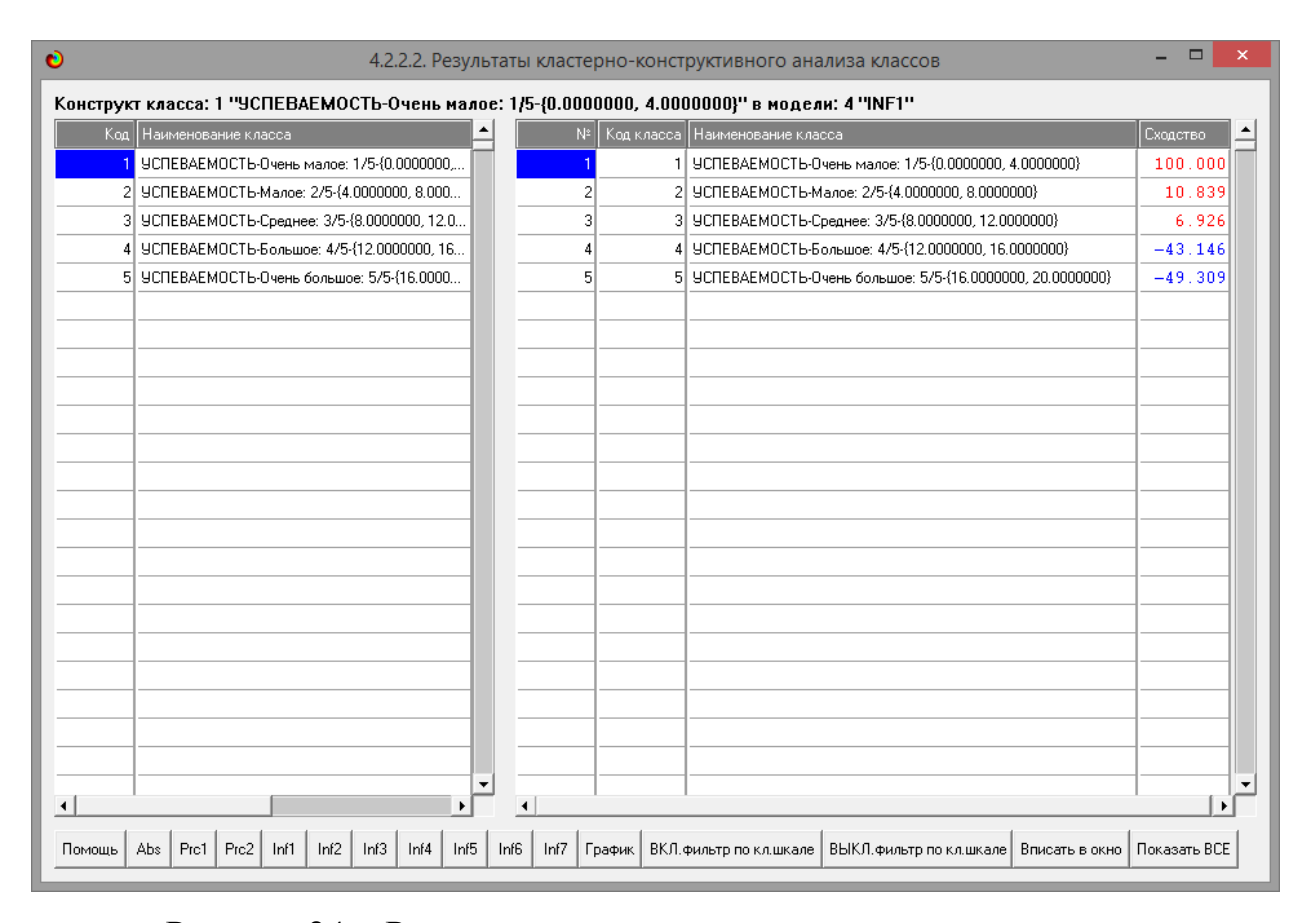


Рисунок 24 — Результаты кластерного и конструктивного анализа классов

Результаты кластерного и конструктивного анализа классов в модели INF4 приведены на рисунке 24.

График данного анализа представлен на рисунке 25.

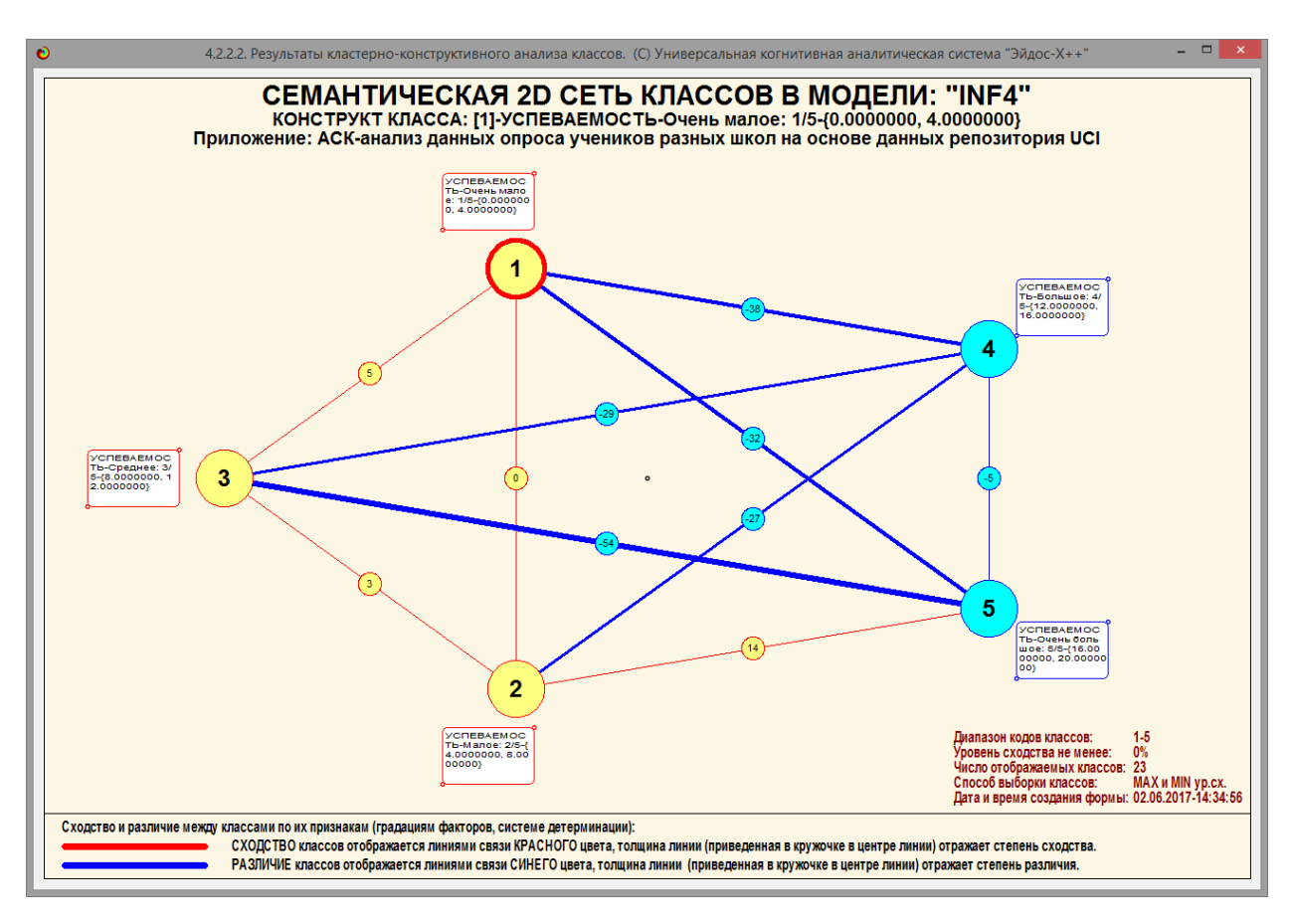


Рисунок 25 — Графические результаты кластерного и конструктивного анализа классов

ЗАКЛЮЧЕНИЕ

Так как существует множество систем искусственного интеллекта, то возникает необходимость сопоставимой оценки качества их математических моделей. Одним из вариантов решения этой задачи является тестирование различных системы на общей базе исходных данных, для чего очень удобно В использовать общедоступные базы. данной работе приводится развернутый пример использования базы данных UCI для оценки качества математических моделей, применяемых в АСК-анализе и его программном инструментарии системе искусственного интеллекта «Эйдос». При этом наиболее достоверной в данном приложении оказалась модель INF4 при интегральном критерии «Резонанс знаний». Точность модели составляет 0,759, что заметно выше, чем достоверность экспертных оценок, которая считается равной около 70%. Для оценки достоверности моделей в АСКанализе и системе «Эйдос» используется F-мера Ван Ризбергена и ее обобщение нечеткое мультиклассовое L-мера, предложенная проф.Е.В.Луценко. Если на основе базы данных UCI, рассмотренной в данной работе, построить модели прогнозирования не с помощью АСКанализа и реализующей его системы «Эйдос», а с применением других математических методов и реализующих их программных систем, то можно сопоставимо сравнить их качество.

СПИСОК ИСПОЛЬЗОВАННЫХ ИСТОЧНИКОВ

- 1. База данных numbeo.com [Электронный ресурс],-Режим доступа: https://www.numbeo.com/quality-of-life/rankings.jsp, свободный, Загл. с экрана, -Яз. англ.
- 2. Луценко Е.В. Инвариантное относительно объемов данных нечеткое мультиклассовое обобщение F-меры достоверности моделей Ван Ризбергена в АСК-анализе и системе «Эйдос» // Политематический сетевой электронный научный журнал Кубанского государственного аграрного университета (Научный журнал КубГАУ) [Электронный ресурс]. Краснодар: КубГАУ, 2013. №04(088). С. 340 359. IDA [article ID]: 0881304022. Режим доступа: http://ej.kubagro.ru/2013/04/pdf/22.pdf, 1,25 у.п.л.
- 3. Луценко Е.В. Автоматизированный системно-когнитивный анализ в управлении активными объектами (системная теория информации и ее применение в исследовании экономических, социально-психологических, технологических и организационно-технических систем): Монография (научное издание). Краснодар: КубГАУ. 2002. 605 с.
- 4. Луценко Е.В. АСК-анализ, моделирование и идентификация живых существ на основе их фенотипических признаков / Е.В. Луценко, Ю.Н. Пенкина // Политематический сетевой электронный научный журнал Кубанского государственного аграрного университета (Научный журнал КубГАУ) [Электронный ресурс]. Краснодар: КубГАУ, 2014. №06(100). С. 1346 1395. IDA [article ID]: 1001406090. Режим доступа: http://ej.kubagro.ru/2014/06/pdf/90.pdf, 3,125 у.п.л.